Travail de fin d'études

École Supérieure des Géomètres et Topographes







Utilisation et traitement des données MNT LiDAR pour la modélisation hydraulique et l'étude hydrogéomorphologique dans le cadre de la Directive Européenne 2007/60/CE relative aux risques d'inondation

Présenté par : M. Arnaud ALVAREZ le 10 juillet 2012 Membres du jury :

Président : M. José CALI

Maître de stage : M. Frédéric PONS

Professeur référent : M. Mathieu BONNEFOND

Contexte d'étude

Directive Européenne 2007/60/CE adoptée en 2007 pour réduire les conséquences négatives des inondations sur les territoires à risques

4 étapes de travail :

- Evaluation préliminaire des risques d'inondation (décembre 2011)
- Choix des territoires à risque important d'inondation (septembre 2012)
- Elaboration des cartes de surfaces inondables et des cartes des risques d'inondation (décembre 2013)
- Elaboration des plans de gestion du risque d'inondation et mise en oeuvre des stratégies locales (décembre 2015)

Objectif : Utilisation de ces nouvelles données LiDAR sur le territoire pour cartographier les zones inondables

Sommaire

- > Introduction
- Mise en place des méthodes de traitement des données LiDAR
- Analyse des résultats
- Conclusion

Introduction

Nécessité de la connaissance des lignes de rupture de pente pour l'hydrogéomorphologie et la modélisation hydraulique

=> Objectif : détecter les lignes de rupture

Travail décomposé en 3 étapes :

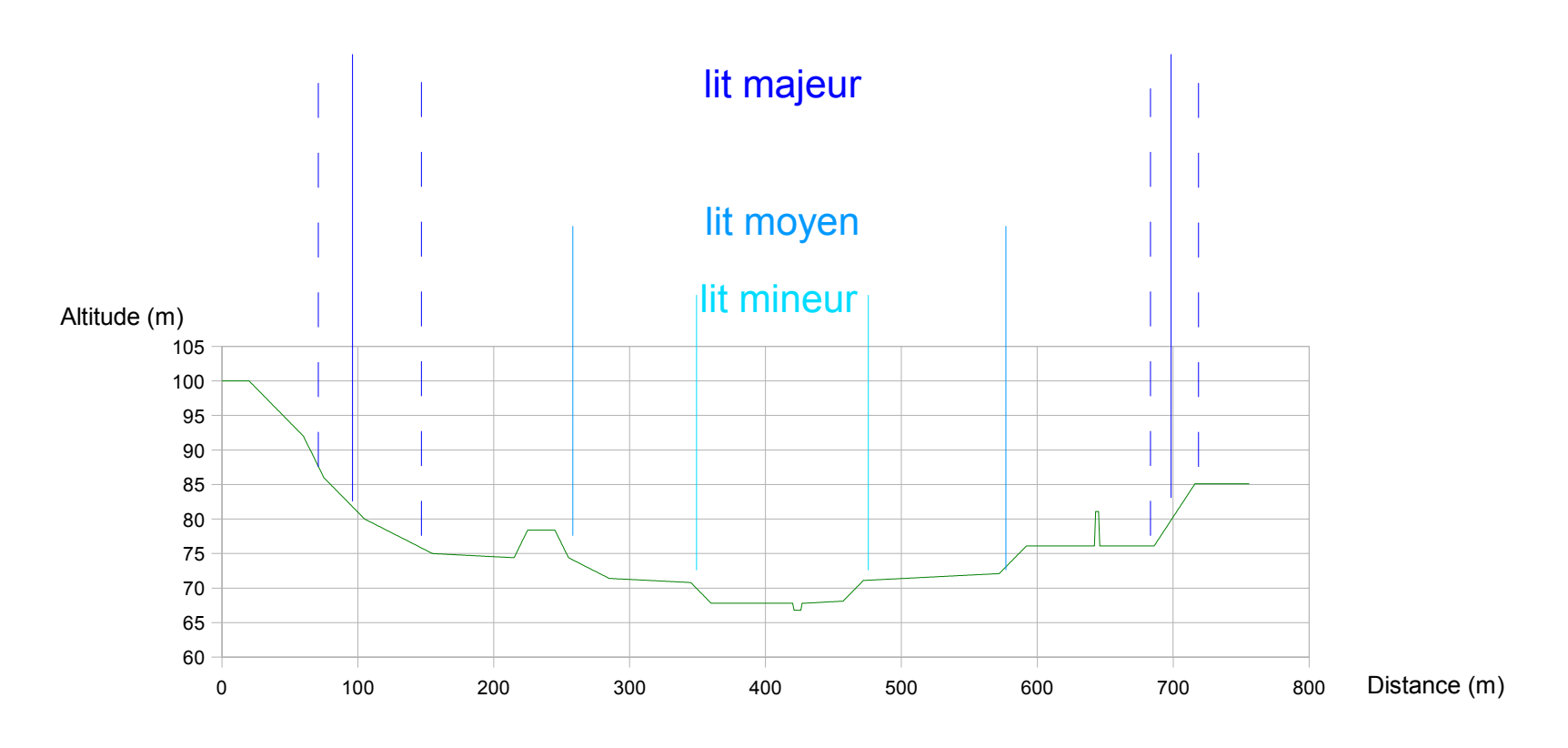
- Réflexion sur les méthodes de détection des lignes de rupture de pente à partir d'un MNT créé sous tableur
- Prise en main des logiciels à disposition et transcription des méthodes QGIS et GRASS
- Application des méthodes sur dalles LiDAR

>Introduction

- Mise en place des méthodes de traitement des données LiDAR
 - A partir d'un profil théorique
 - A partir d'un profil théorique bruité
 - Conclusion
- Analyse des résultats
- Conclusion

A partir d'un profil théorique

Création d'un profil en travers de plaine alluviale type



A partir d'un profil théorique

Calcul de la courbure

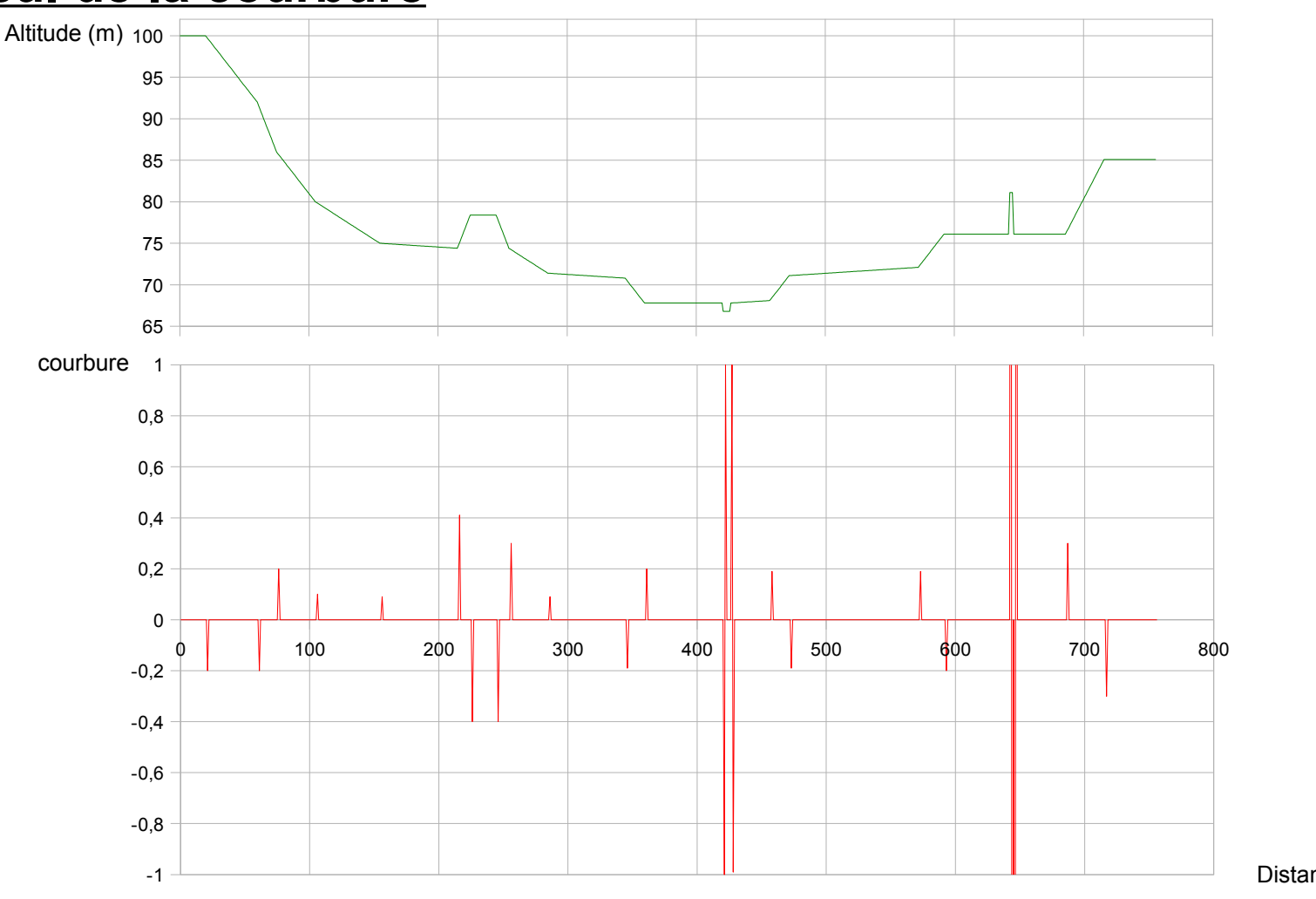
Rupture de pente = variation de pente importante => valeur de la dérivée de la pente importante

pente : $p = \Delta Z/\Delta x$

courbure : $c = \Delta p/\Delta x$

A partir d'un profil théorique

Calcul de la courbure



Distance (m)

A partir d'un profil théorique

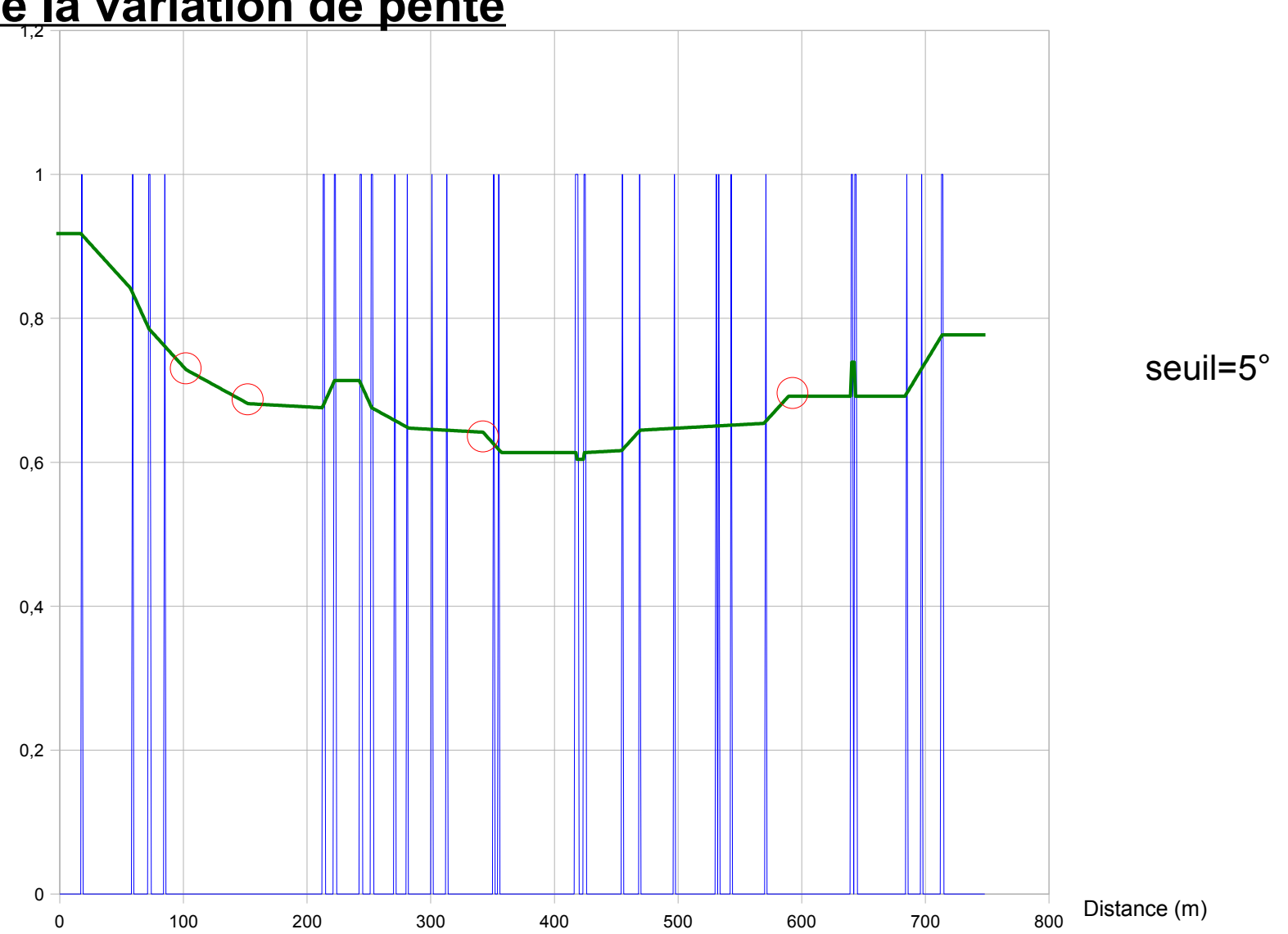
Calcul de la variation de pente

Différence de pente entre un point et un point de son voisinage.

[-1,-1]	[-1,0]	[-1,1]
[0,-1]	[0,0]	[0,1]
[1,-1]	[1,0]	[1,1]

Expression sous GRASS pour un seuil de 5°:
r.mapcalc "rupture5_ps=if(abs(ps-ps[-1,-1]>5)||abs(ps-ps[-1,0]>5)||
abs(ps-ps[-1,1]>5)||abs(ps-ps[0,1]>5)||abs(ps-ps[1,1]>5)||abs(ps-ps[1,-1]>5)||abs(ps-ps[0,-1]>5),1,0)

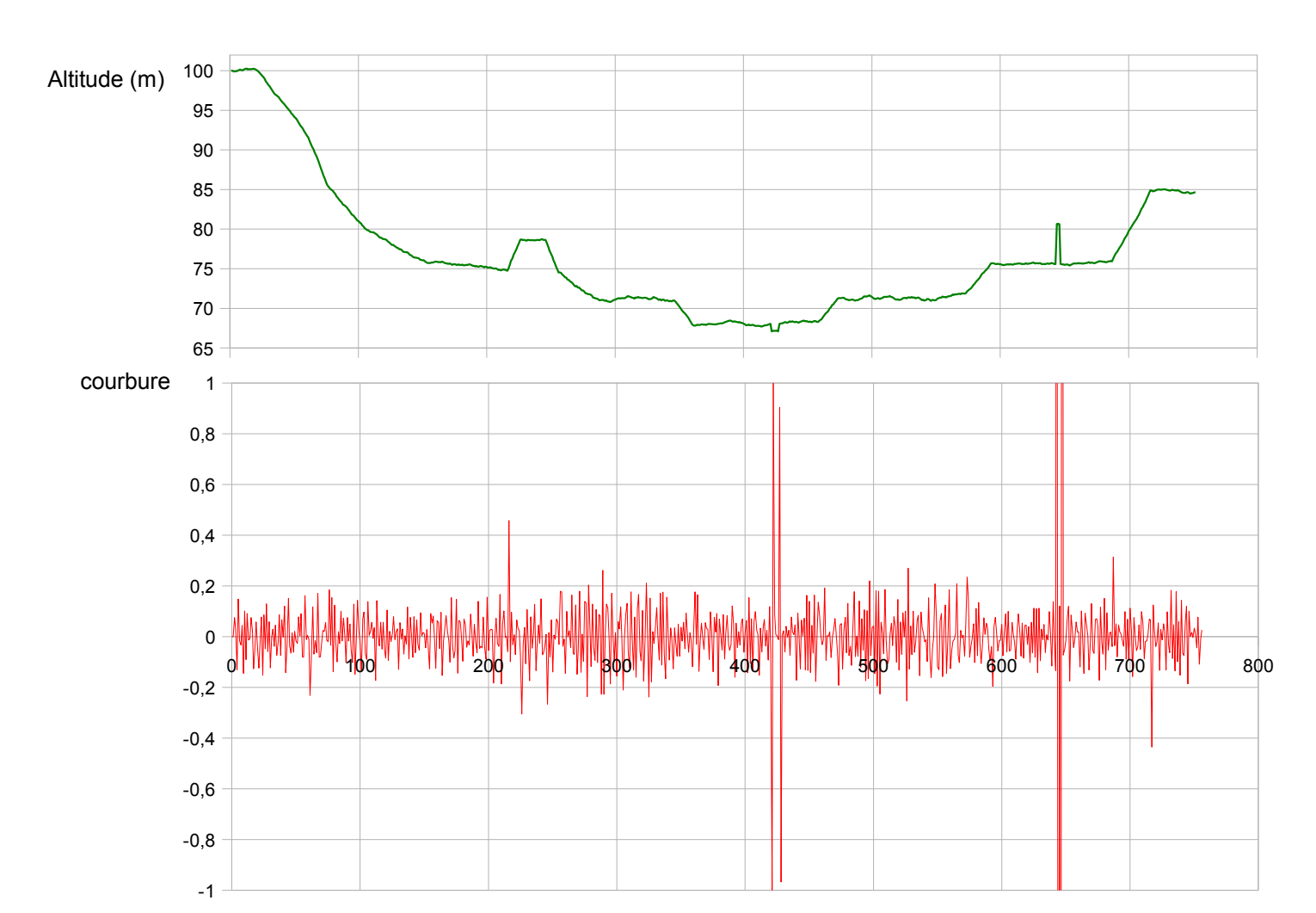
A partir d'un profil théorique



A partir d'un profil théorique bruité

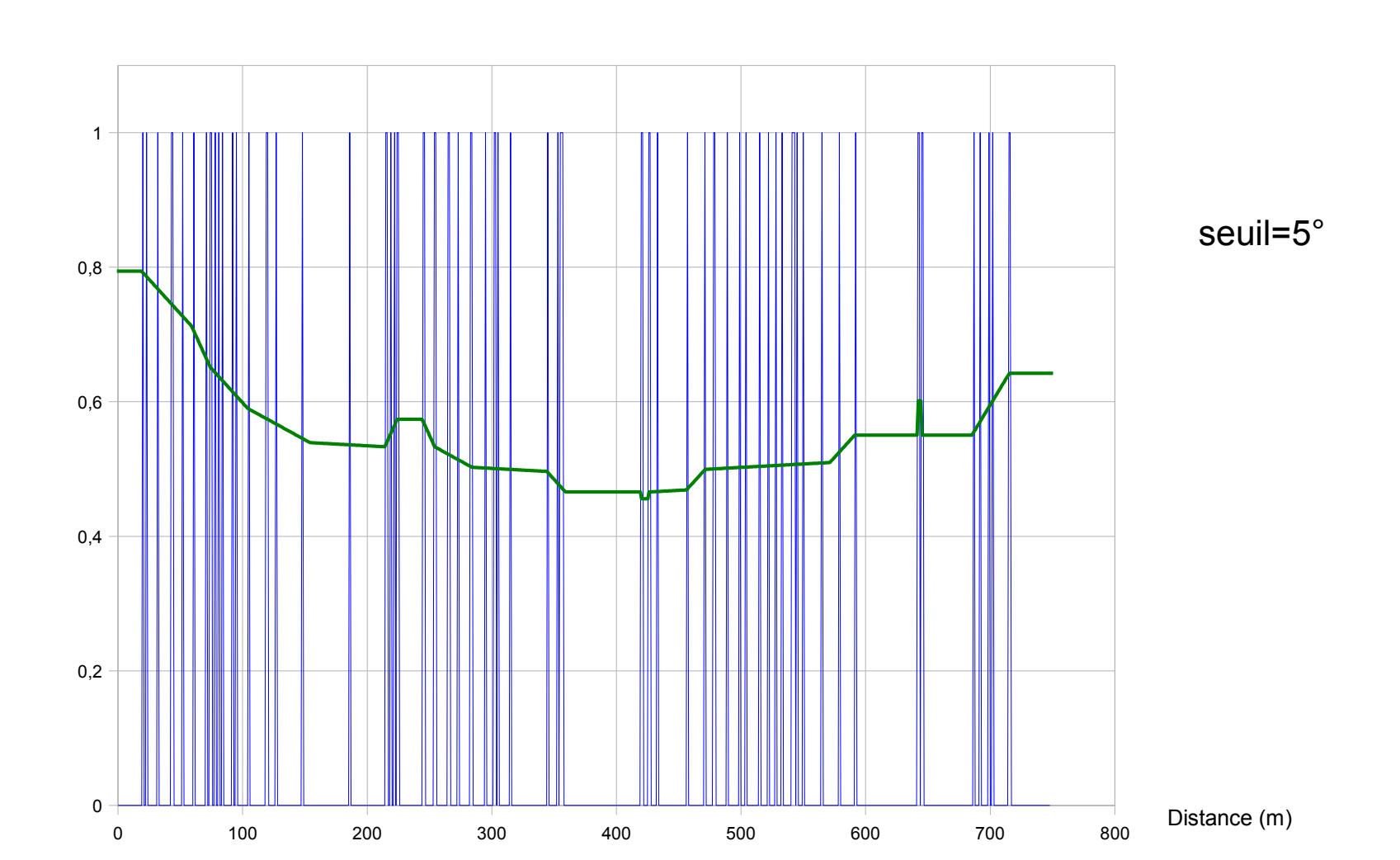
Rajout de bruit sur les altitudes

Calcul de la courbure



A partir d'un profil théorique bruité

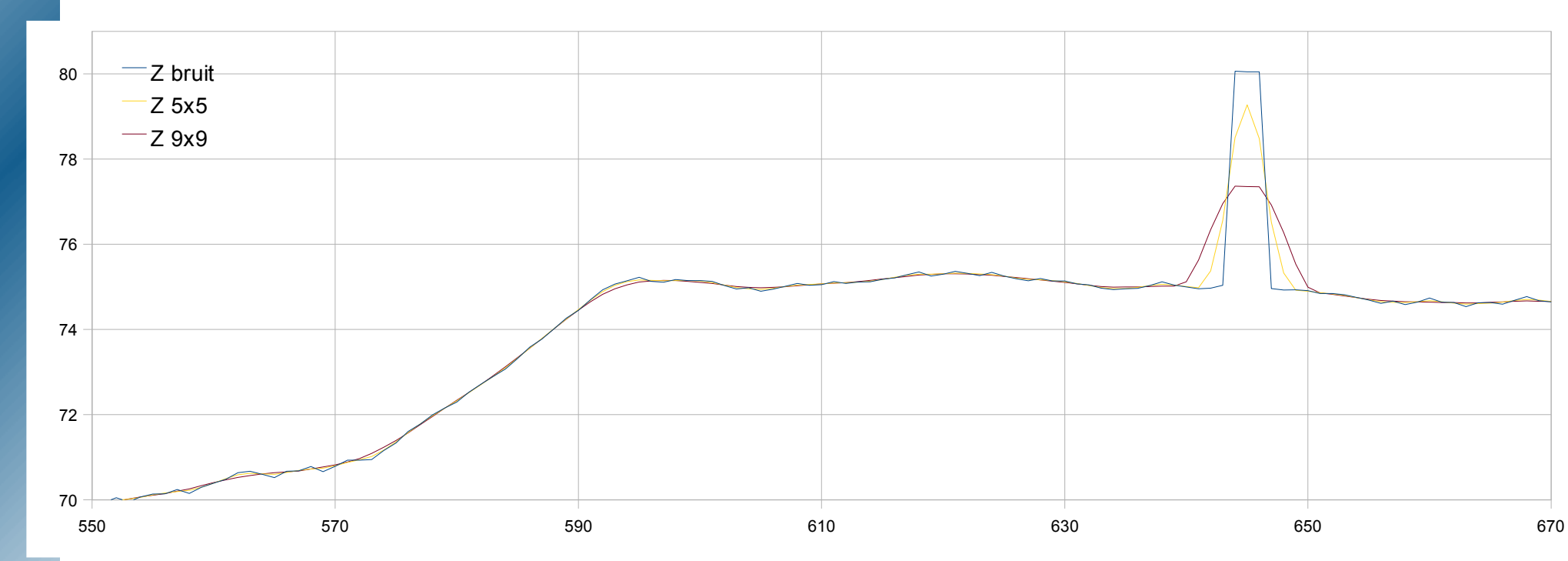
Rajout de bruit sur les altitudes



A partir d'un profil théorique bruité

Réduction du bruit

Application d'un filtre « moyenne » => lissage du terrain naturel



Exemple filtre 5x5: 0 0 1 0 0

0 1 3 1 0

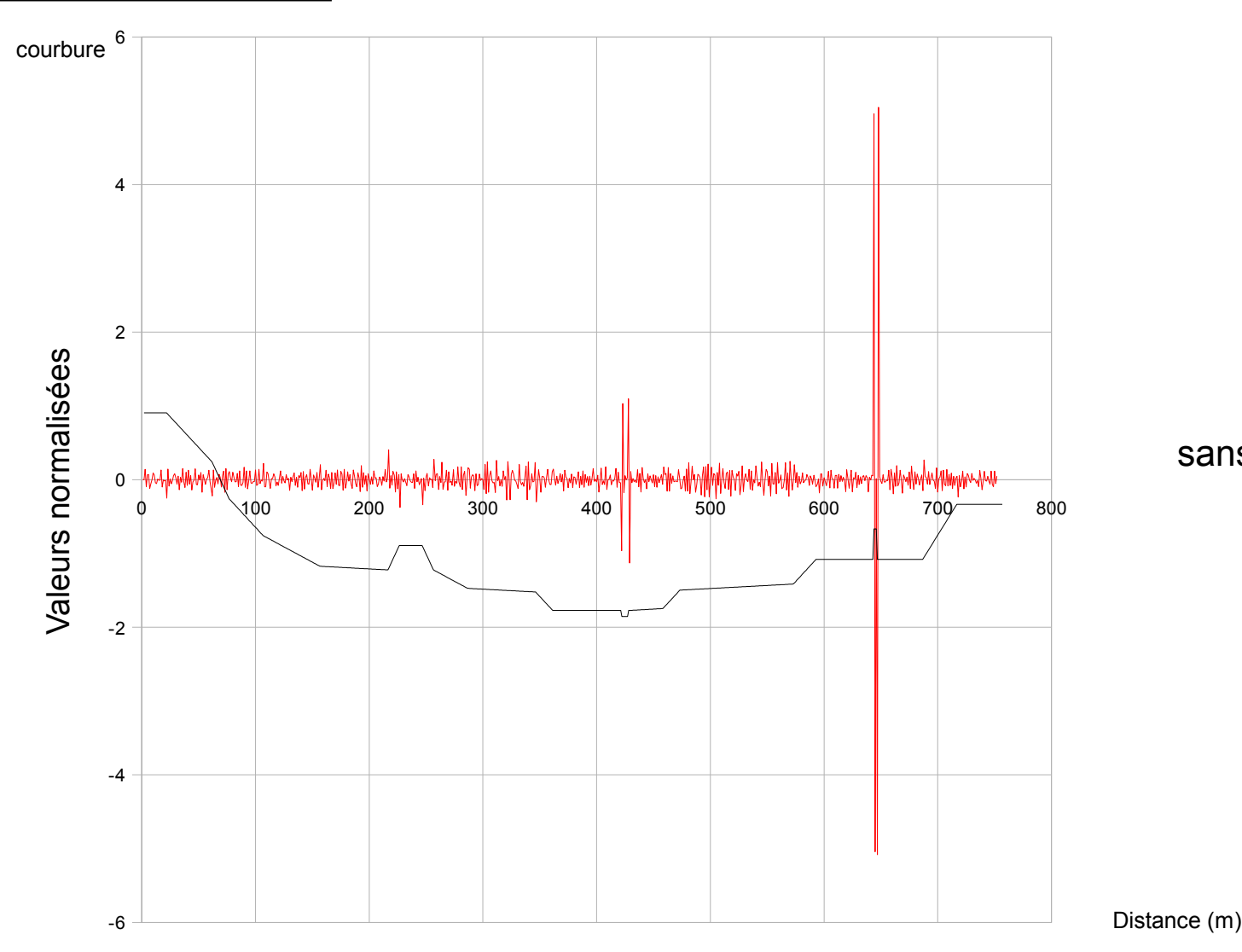
13531

01310

00100

A partir d'un profil théorique bruité

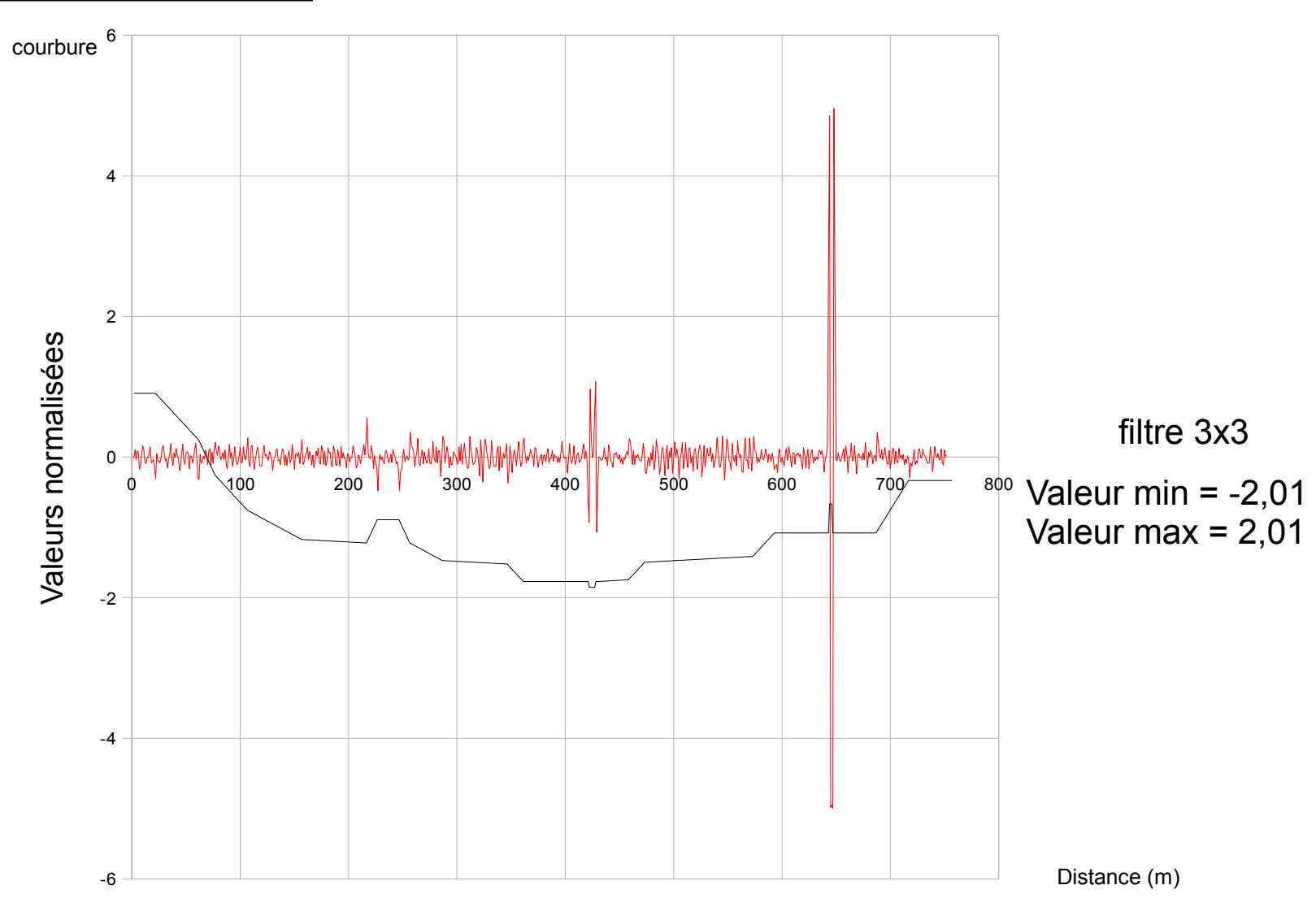
Calcul de la courbure



sans filtre

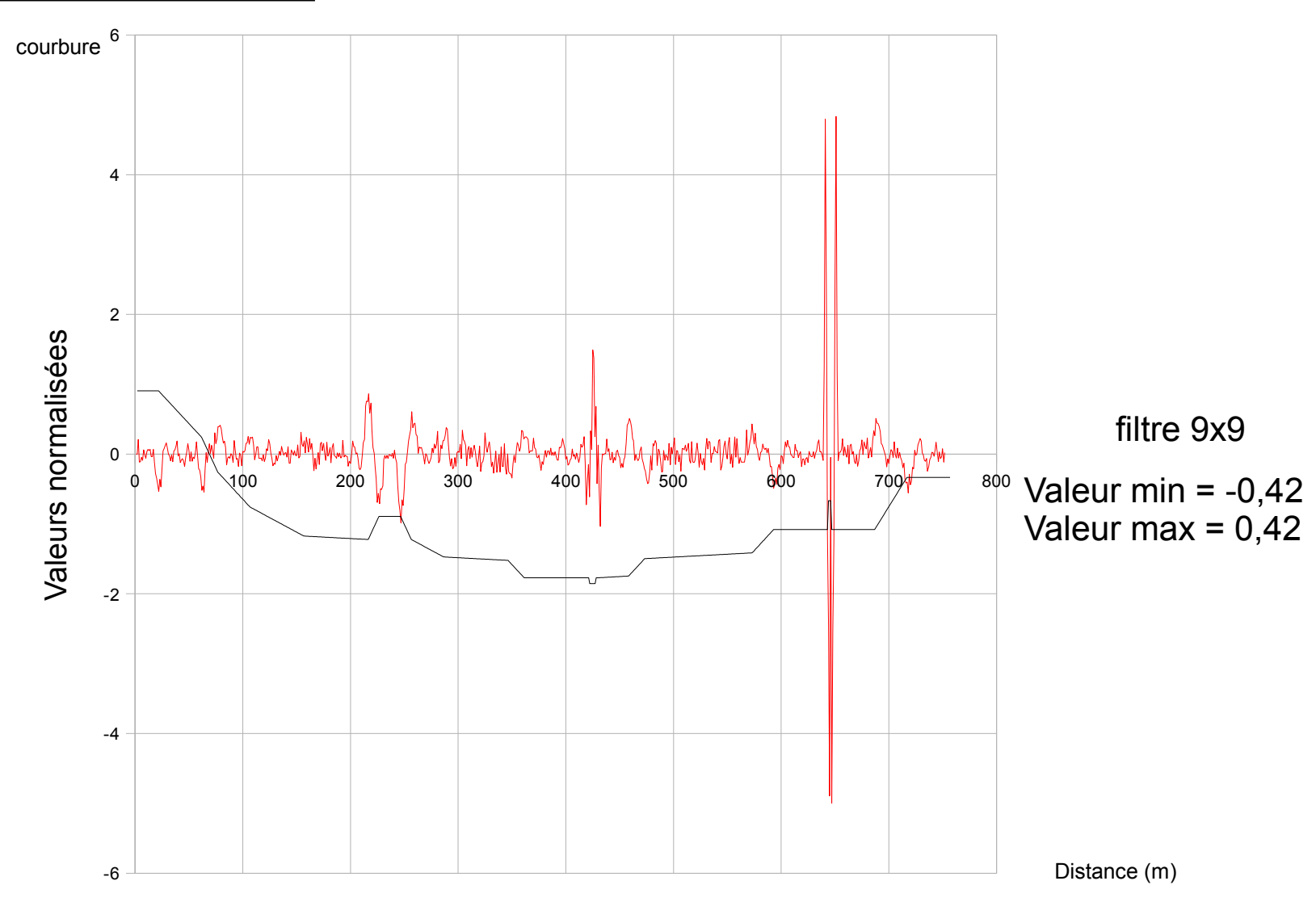
A partir d'un profil théorique bruité

Calcul de la courbure

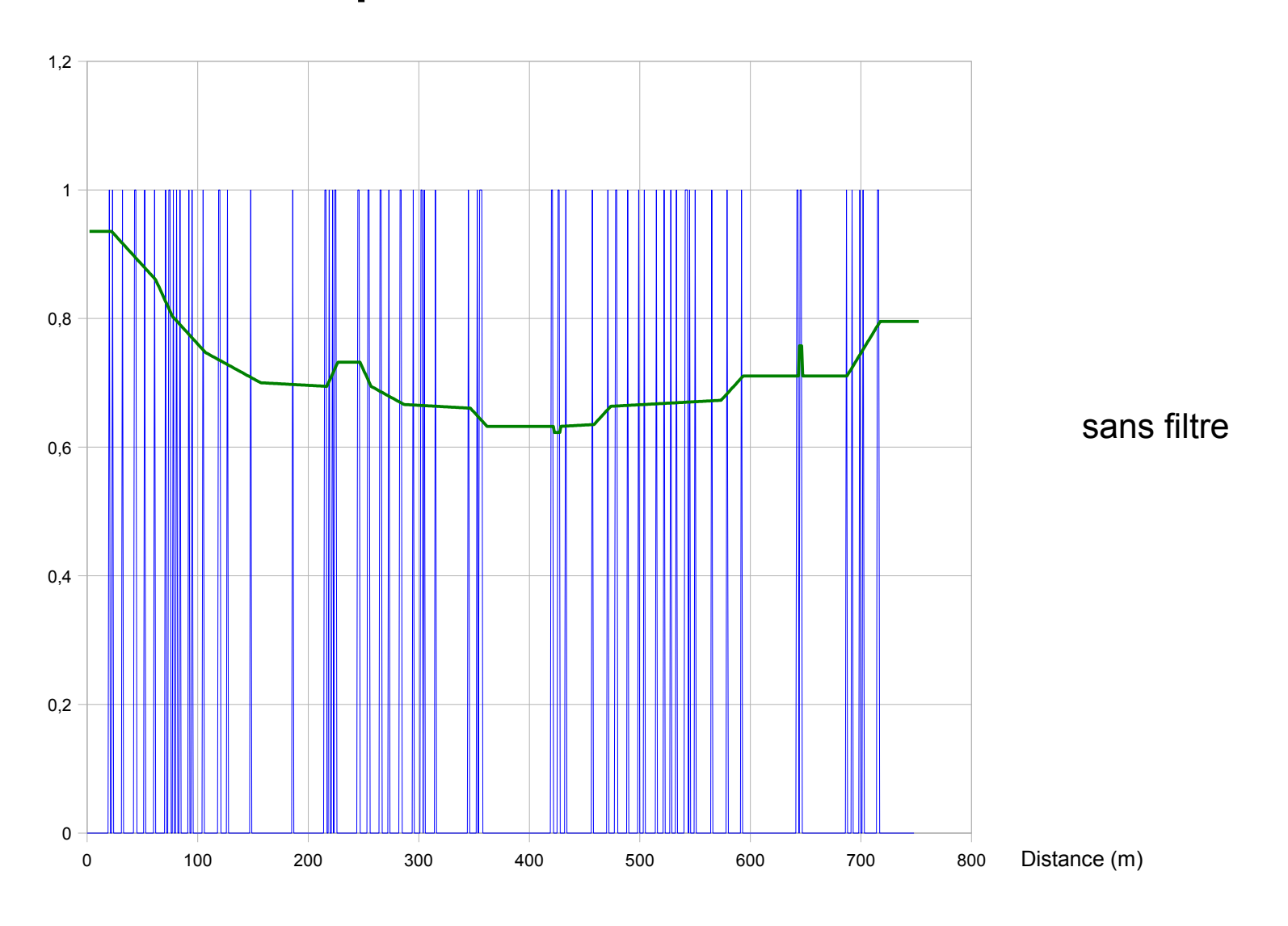


A partir d'un profil théorique bruité

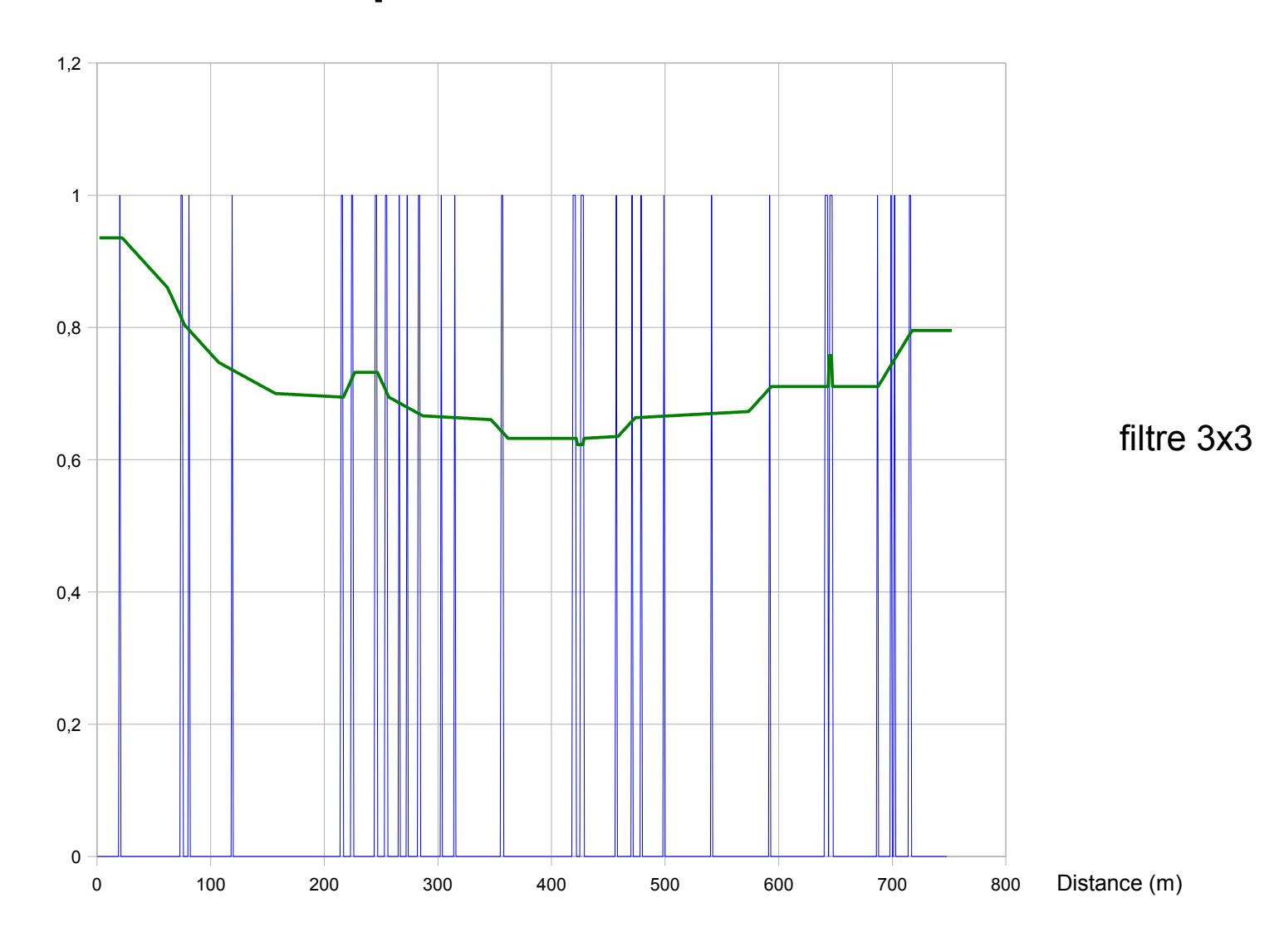
Calcul de la courbure



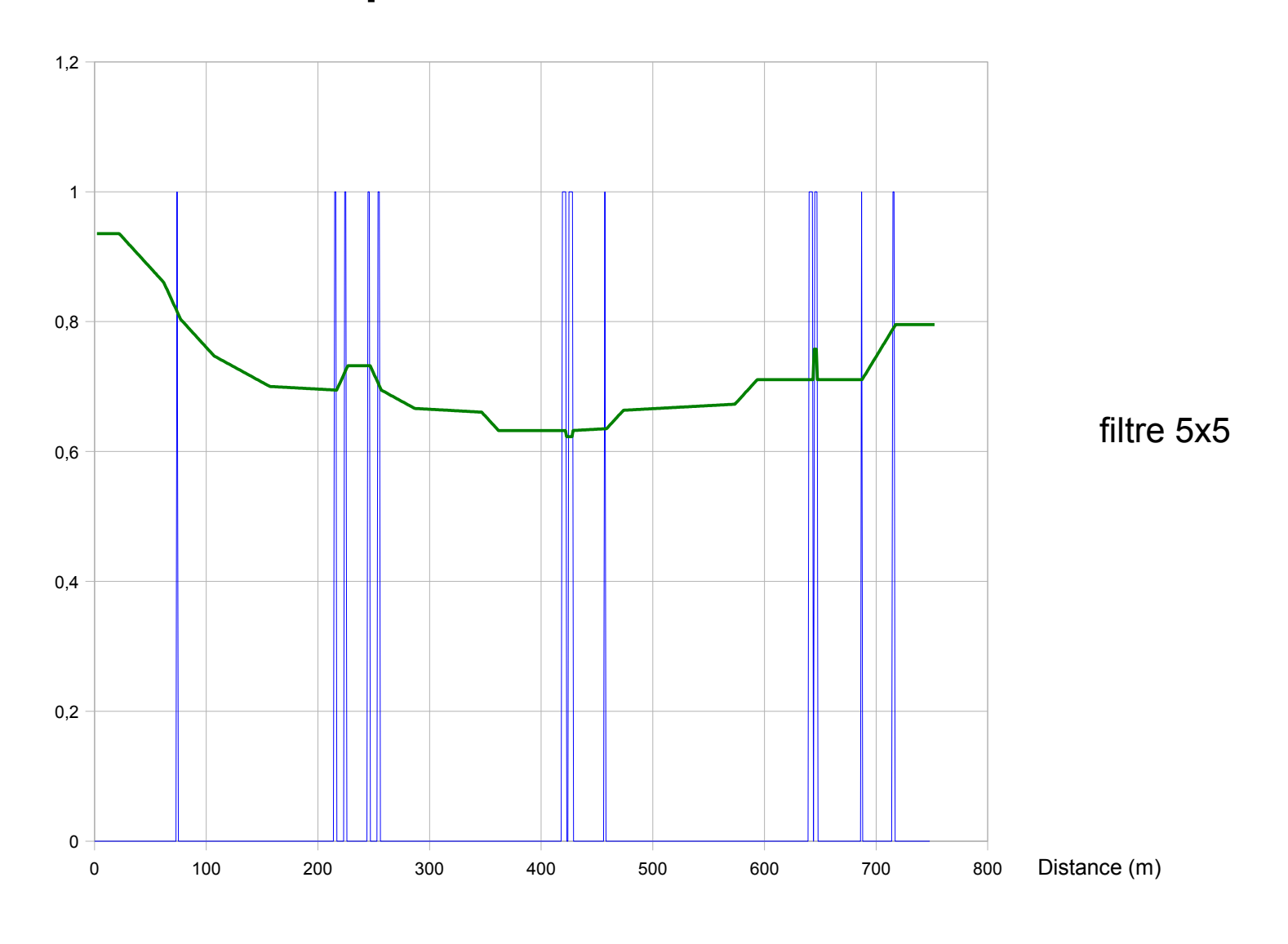
A partir d'un profil théorique bruité



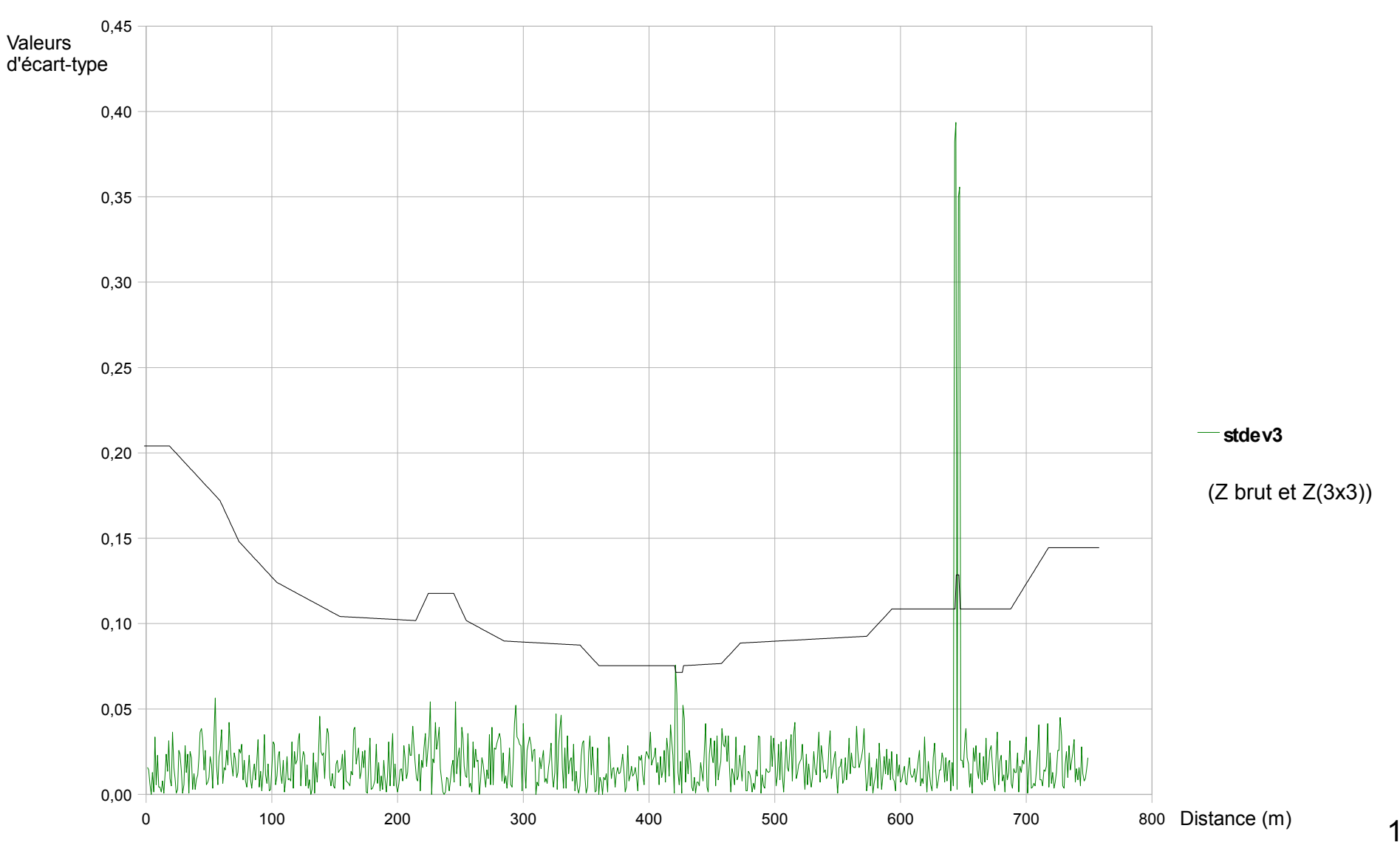
A partir d'un profil théorique bruité



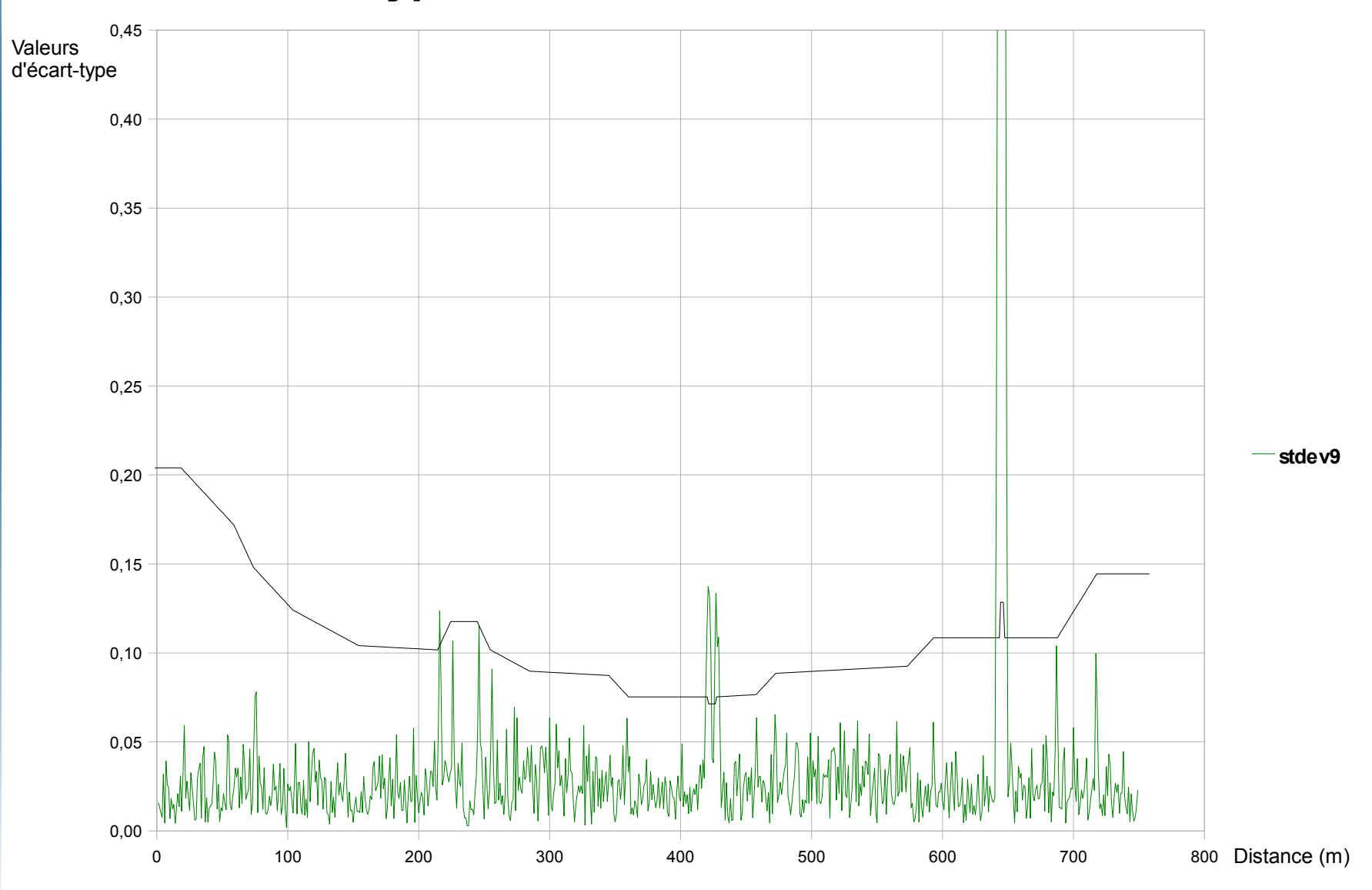
A partir d'un profil théorique bruité



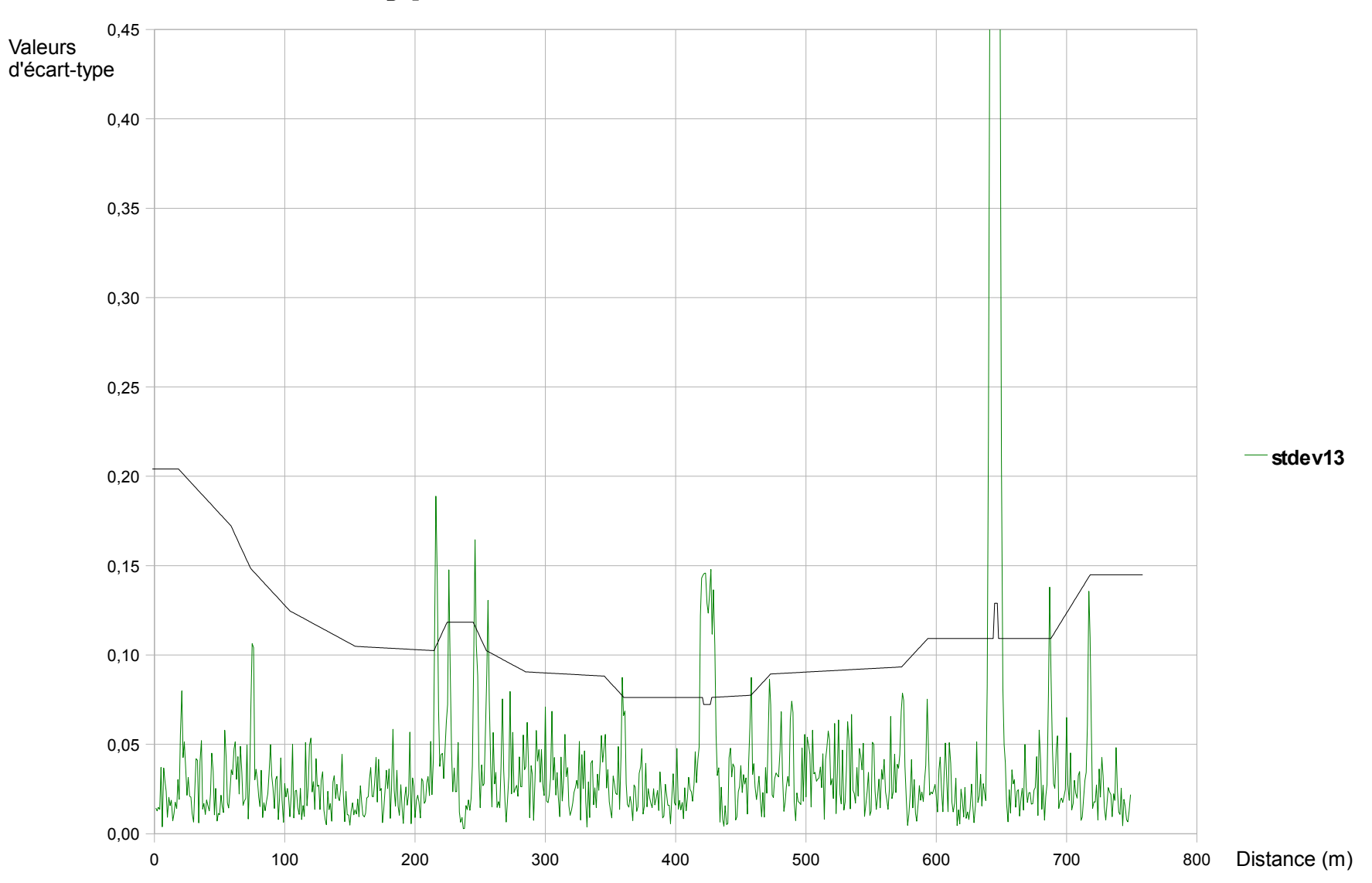
A partir d'un profil théorique bruité



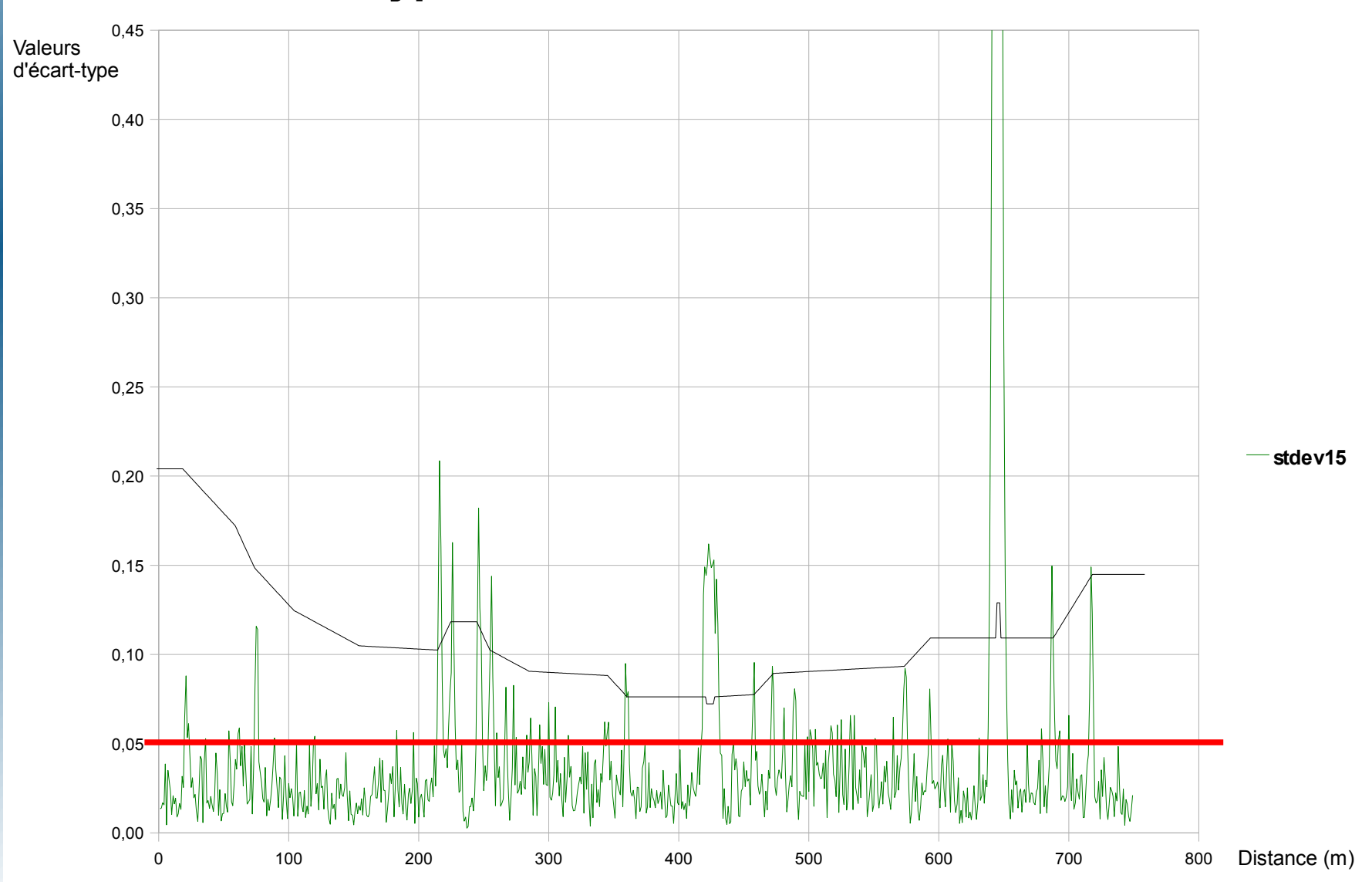
A partir d'un profil théorique bruité



A partir d'un profil théorique bruité

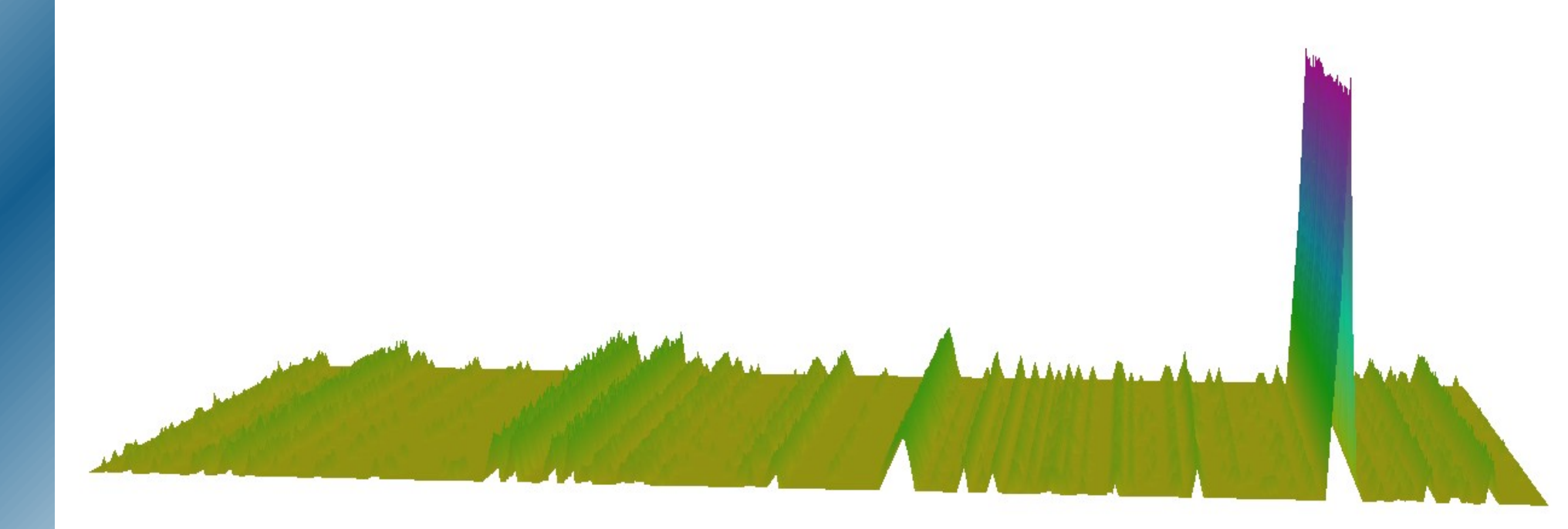


A partir d'un profil théorique bruité



A partir d'un profil théorique bruité

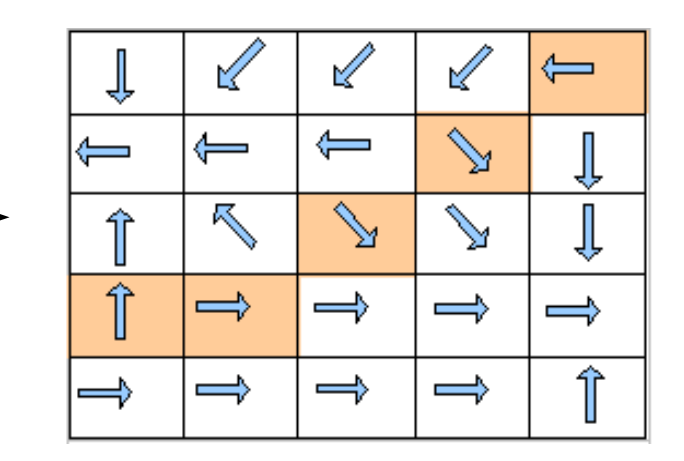
raster « écart-type » en 3D



A partir d'un profil théorique bruité

Calcul des points d'écoulement nul

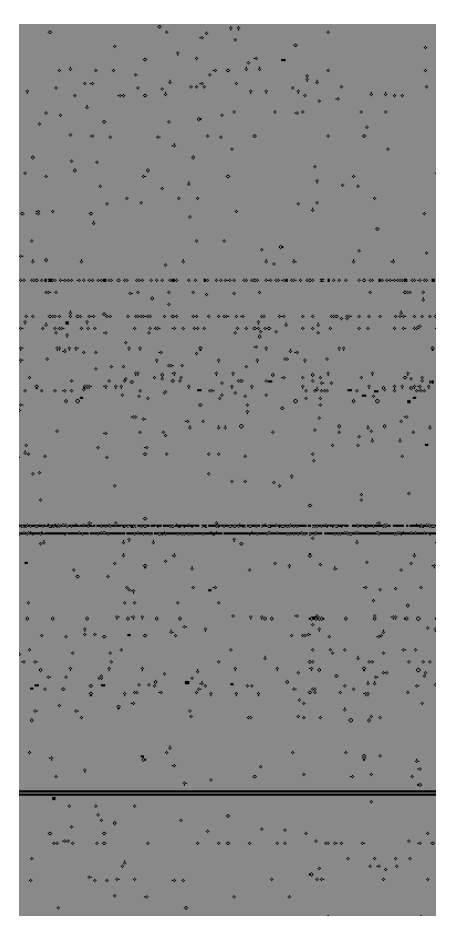
2	4	6	7	10
1	3	5	10	8
7	8	10	5	4
10	10	7	2	1
8	5	4	3	2



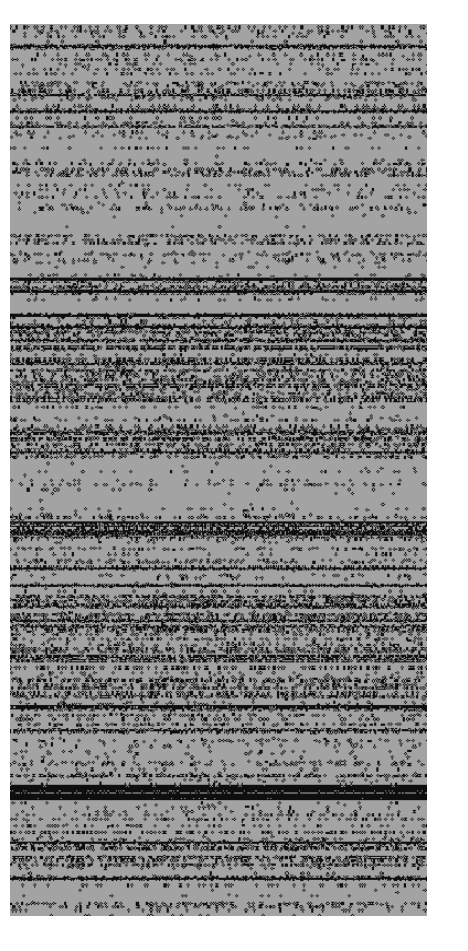
0	0	0	0	1
0	0	0	1	0
0	0	1	0	0
1	1	0	0	0
0	0	0	0	0

A partir d'un profil théorique bruité

Raster « écoulement nul »







stdev3 stdev7 stdev15

Conclusions

- Réduction du bruit avec un filtre pour lisser le terrain naturel
- > 3 méthodes de détection de ligne de rupture de pente :
 - Calcul de la courbure
 - Calcul de la variation de pente
 - · Calcul de l'écart-type

Seuillage difficile car valeur de seuil dépendante du filtrage utilisé

Valeur de seuil moins sensible à la taille de filtre, indépendante du terrain naturel

>Introduction

Mise en place des méthodes de traitement des données LiDAR

- Analyse des résultats
 - Comparaison avec l'hydrogéomorphologie
 - Comparaison avec la modélisation hydraulique
- Conclusion

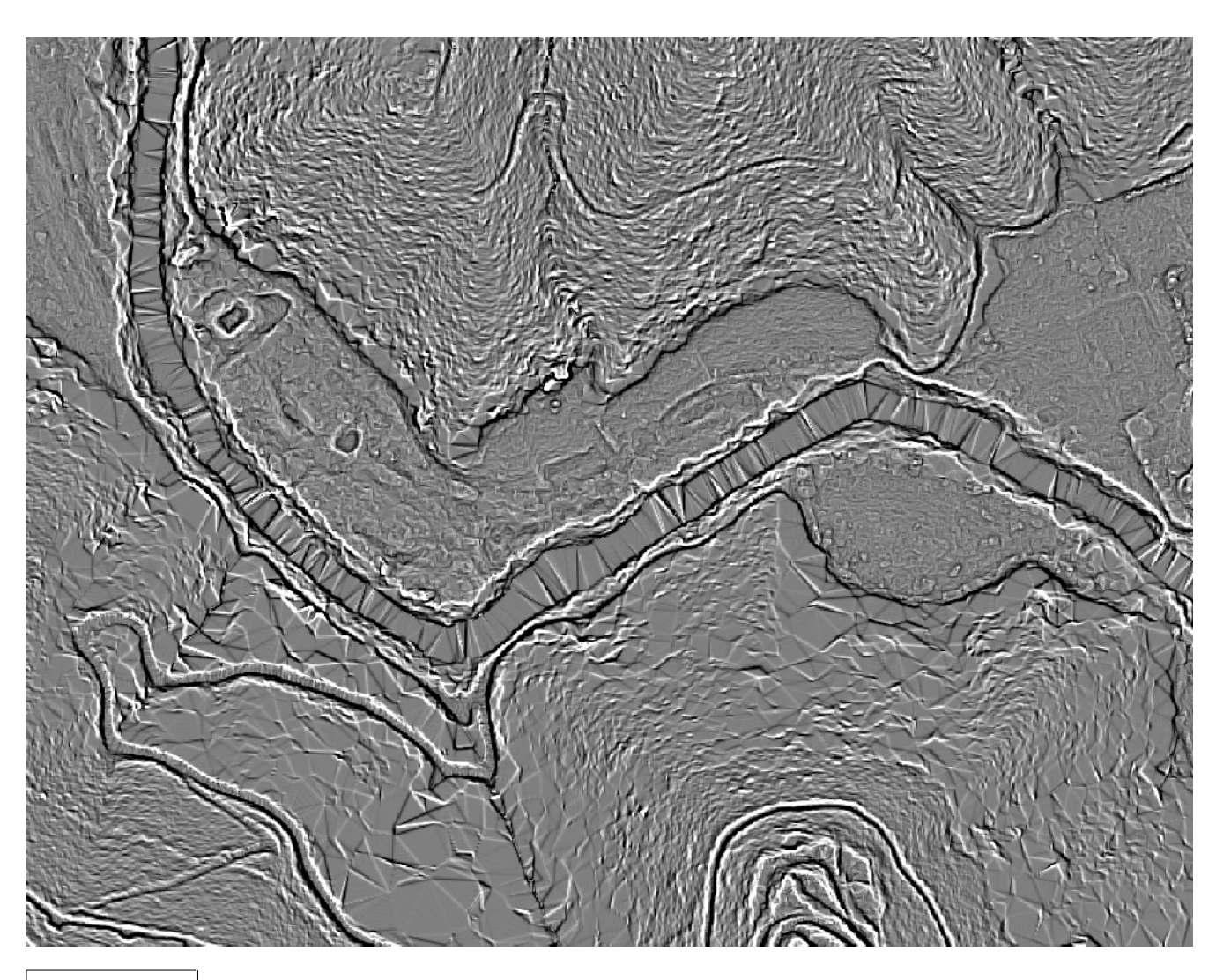
Comparaison avec l'hydrogéomorphologie

Zone test



Comparaison avec l'hydrogéomorphologie

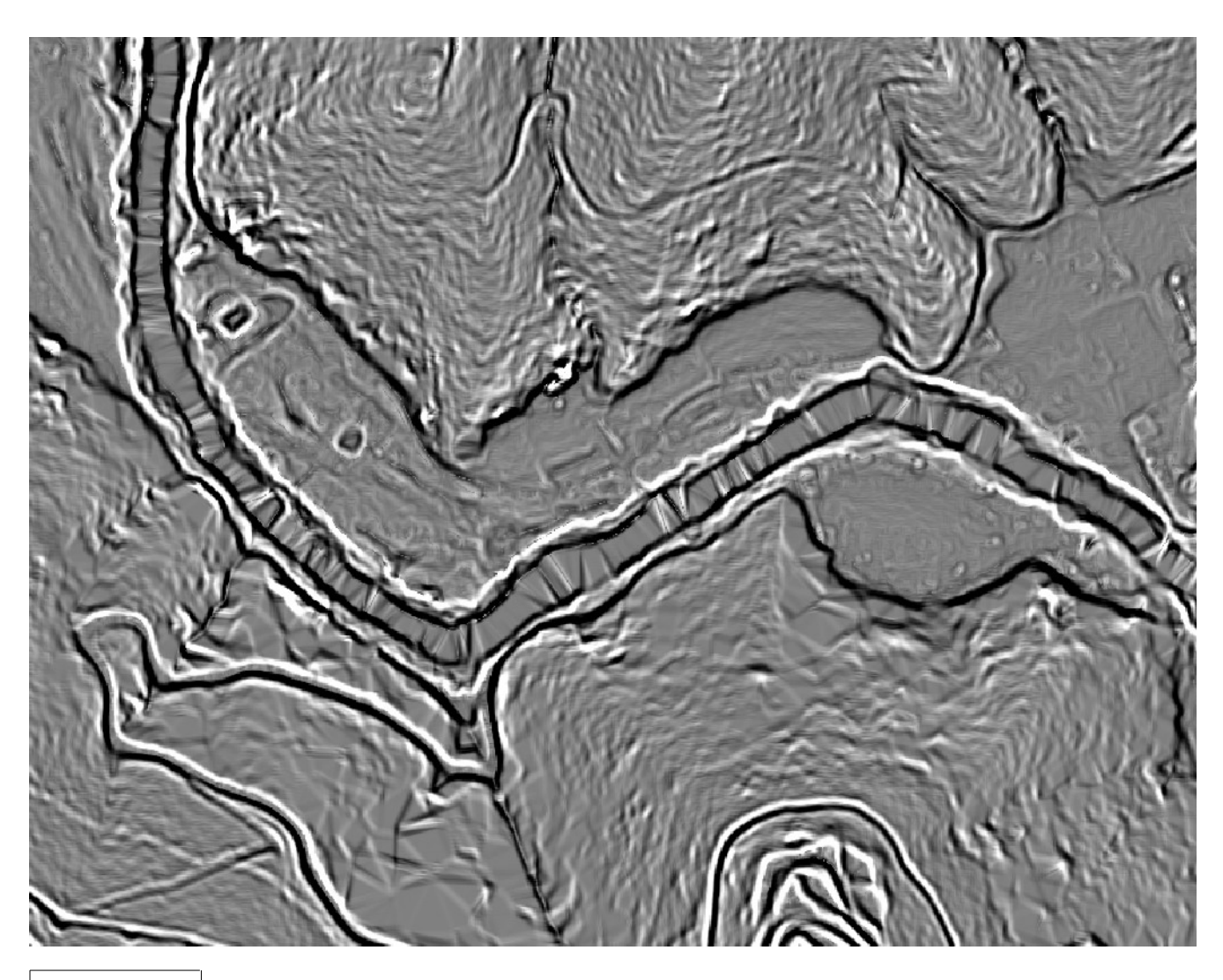
Calcul de courbure



courbure3

Comparaison avec l'hydrogéomorphologie

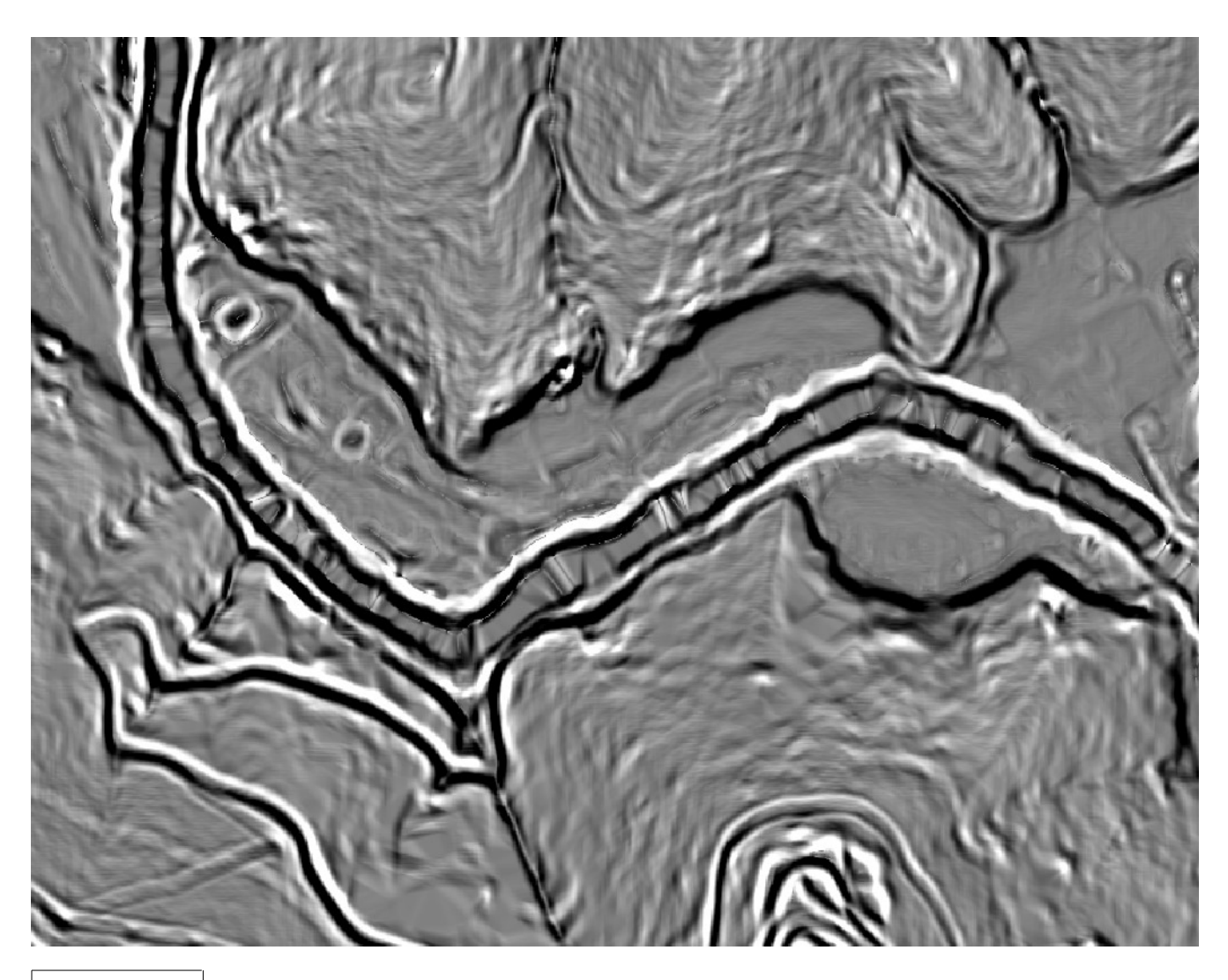
Calcul de courbure



courbure9

Comparaison avec l'hydrogéomorphologie

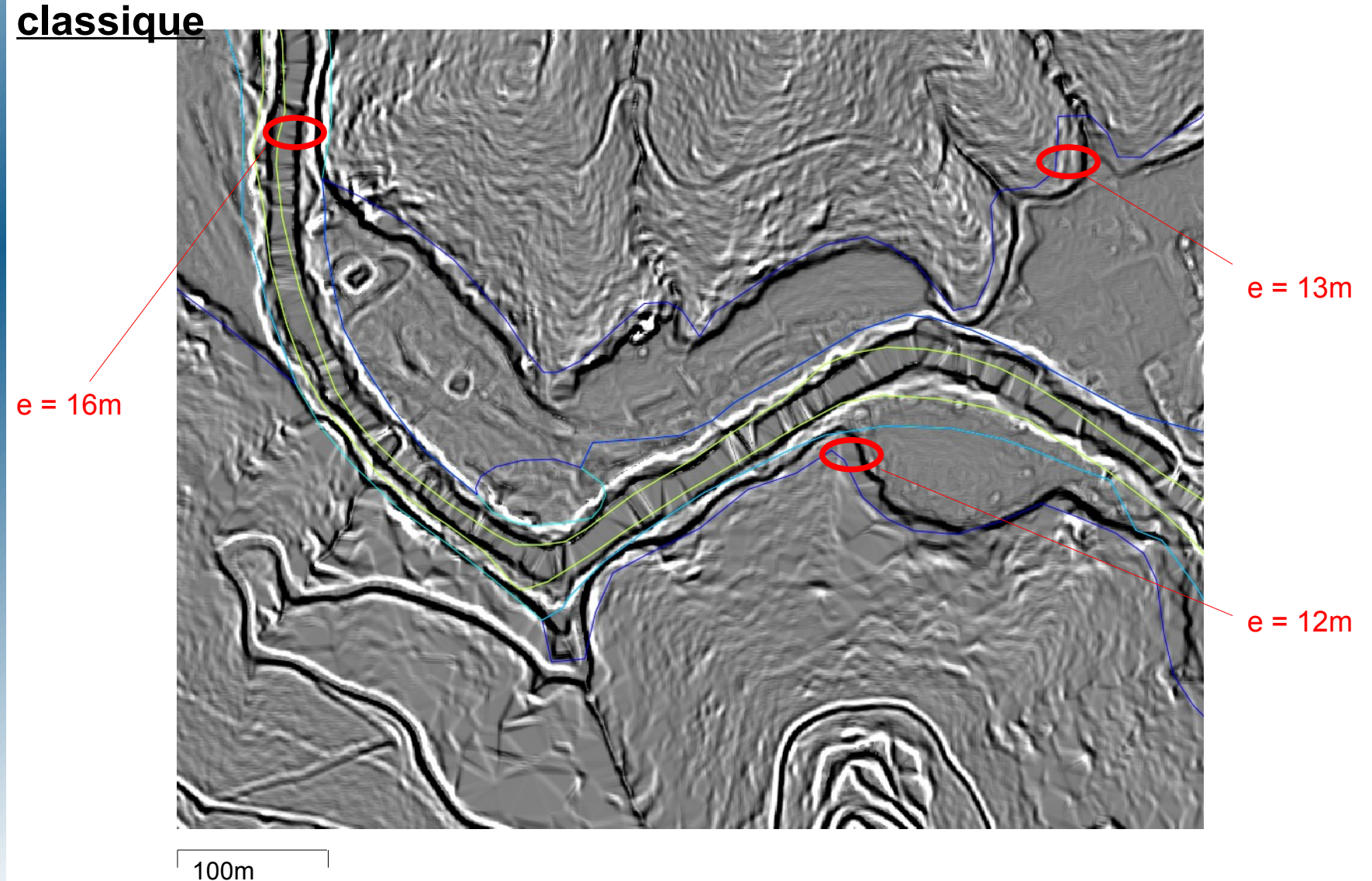
Calcul de courbure



courbure15

Comparaison avec l'hydrogéomorphologie

Calcul de courbure et limites géomorphologiques issues de la méthode



Comparaison avec l'hydrogéomorphologie

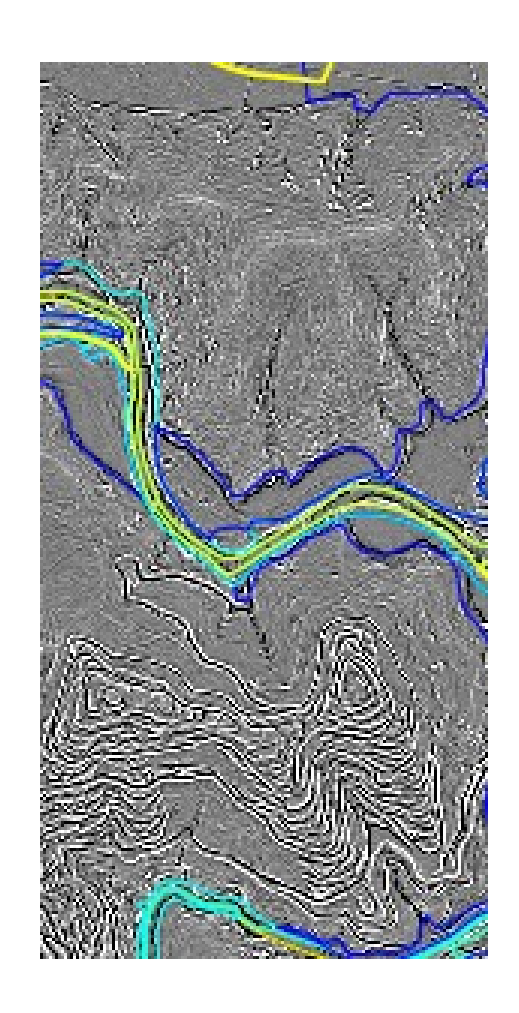
Limites géomorphologiques issues de la méthode classique et ortho-

<u>image</u>



Comparaison avec l'hydrogéomorphologie

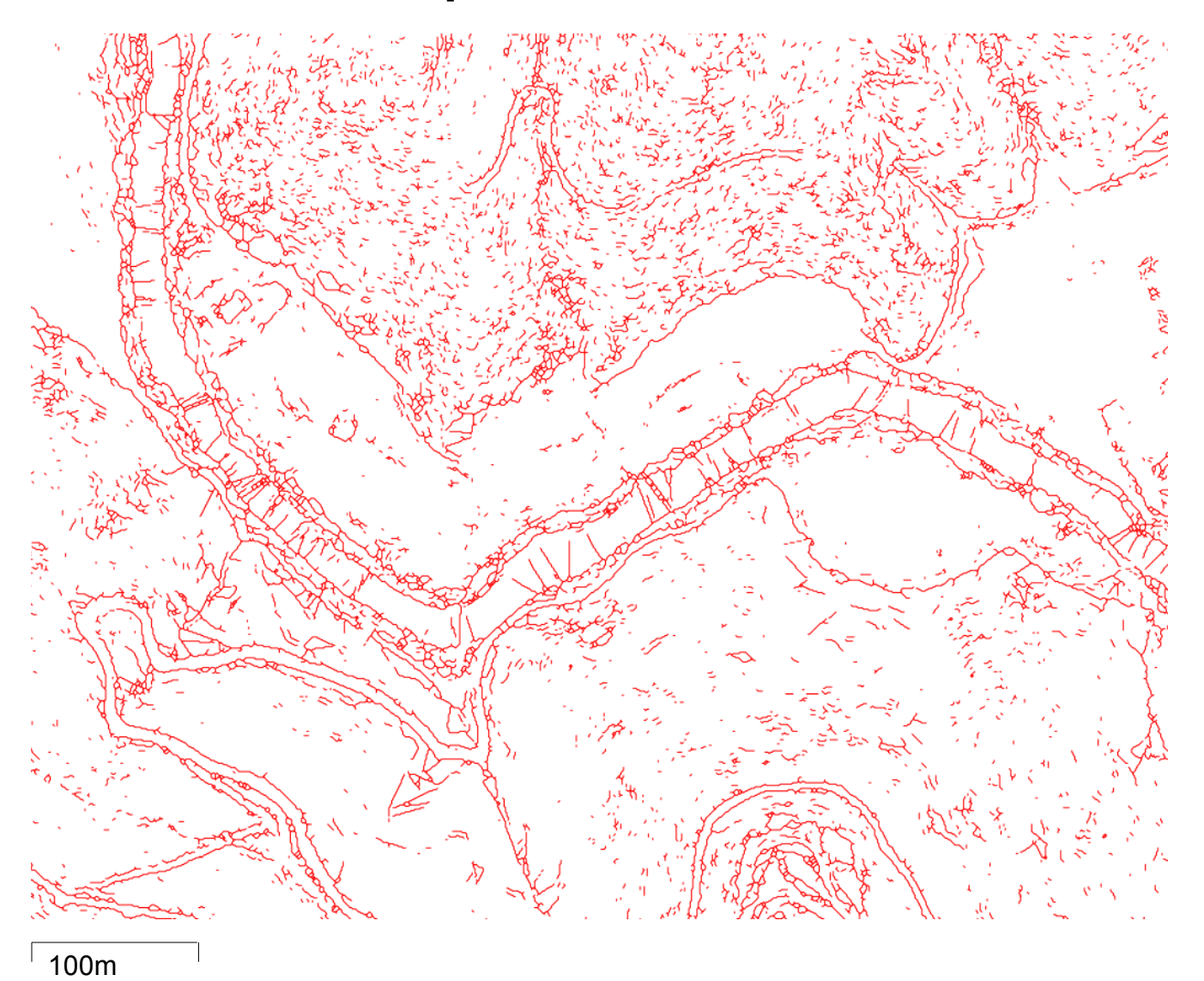
Calcul de courbure et limites géomorphologiques issues de la méthode classique à l'échelle 1/25000



courbure9

Comparaison avec l'hydrogéomorphologie

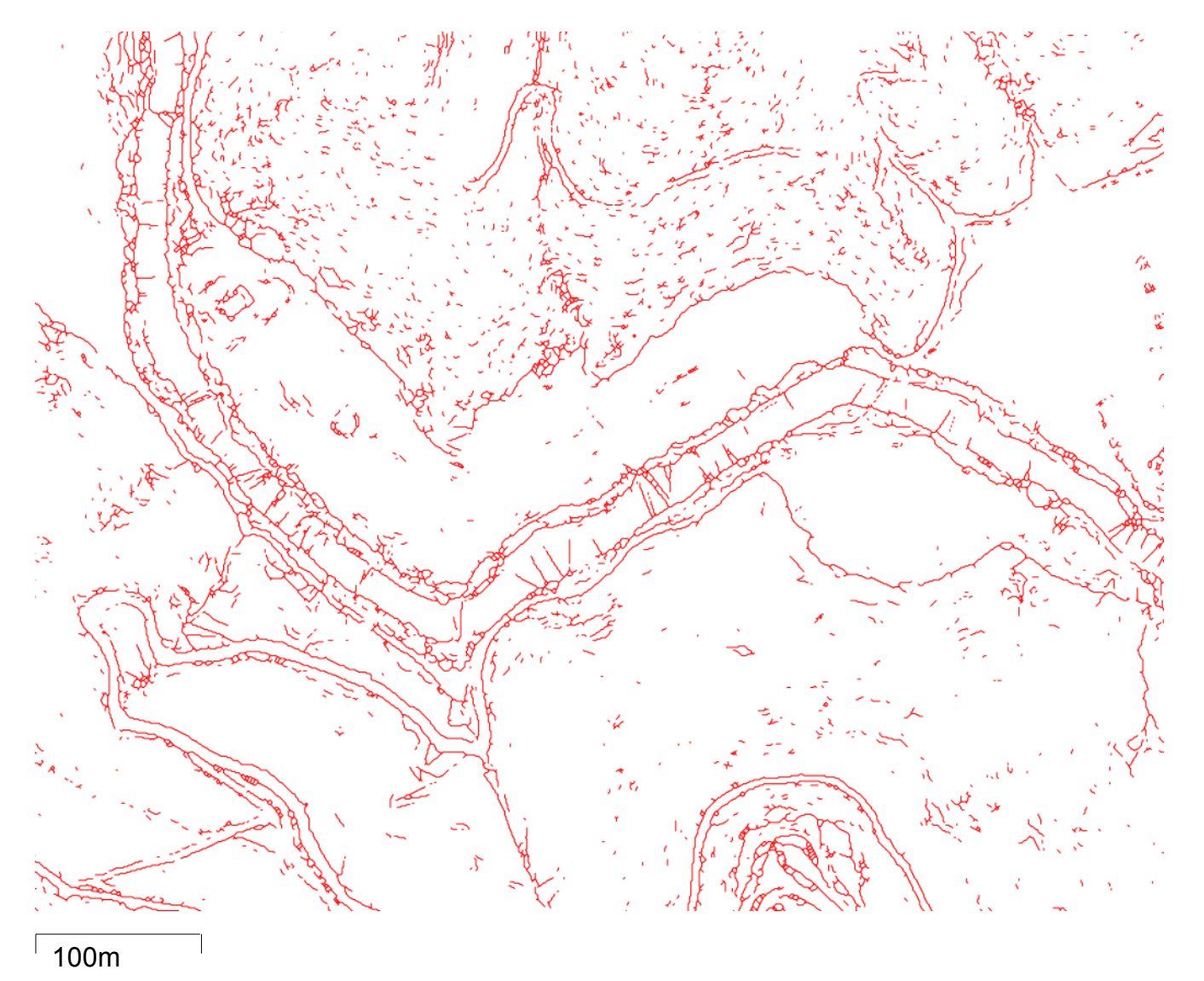
Calcul de la variation de pente



Filtre 3x3

Comparaison avec l'hydrogéomorphologie

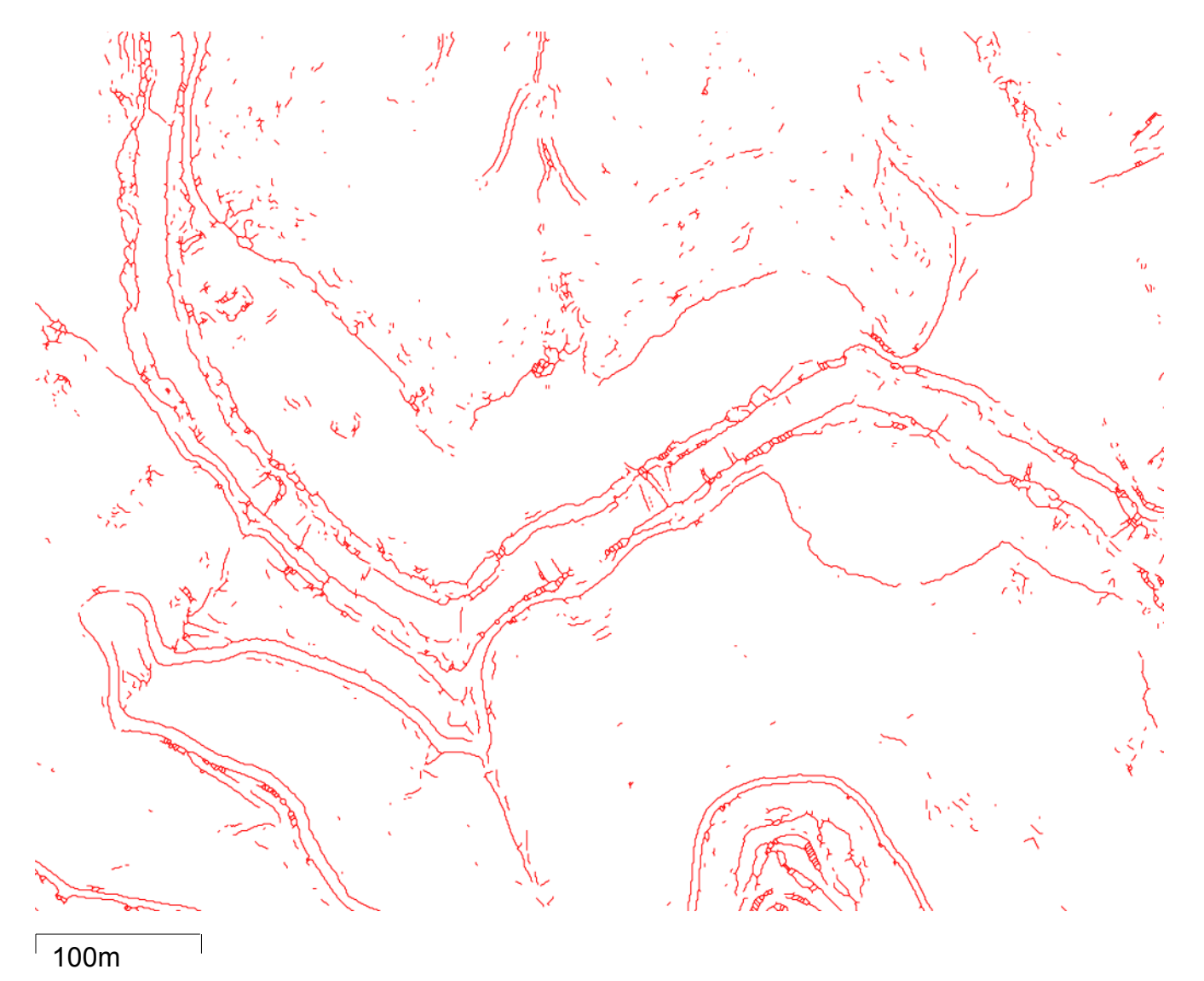
Calcul de la variation de pente



Filtre 5x5

Comparaison avec l'hydrogéomorphologie

Calcul de la variation de pente



Filtre 7x7

Comparaison avec l'hydrogéomorphologie

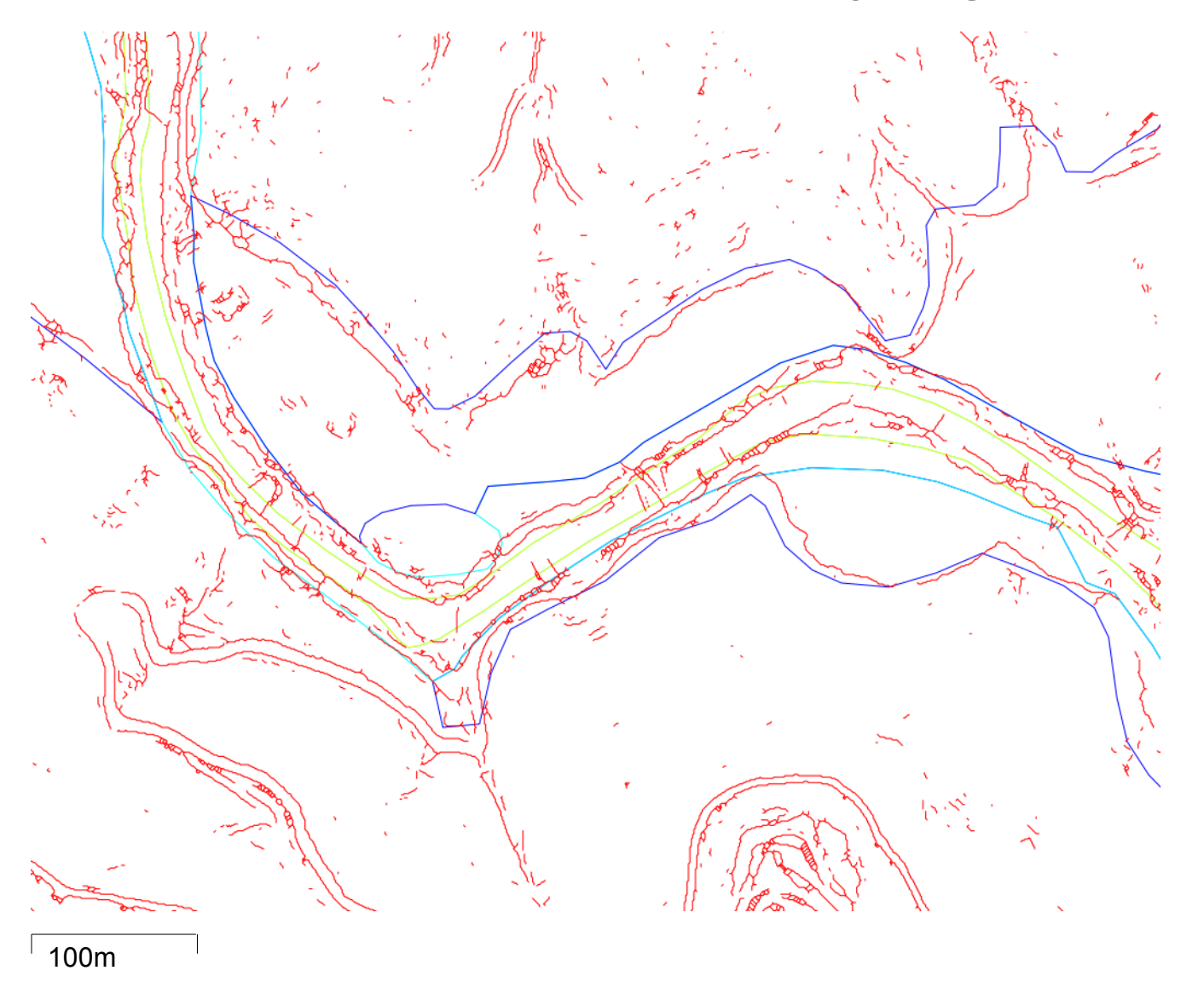
Calcul de la variation de pente et points levés au GPS



Filtre 7x7

Comparaison avec l'hydrogéomorphologie

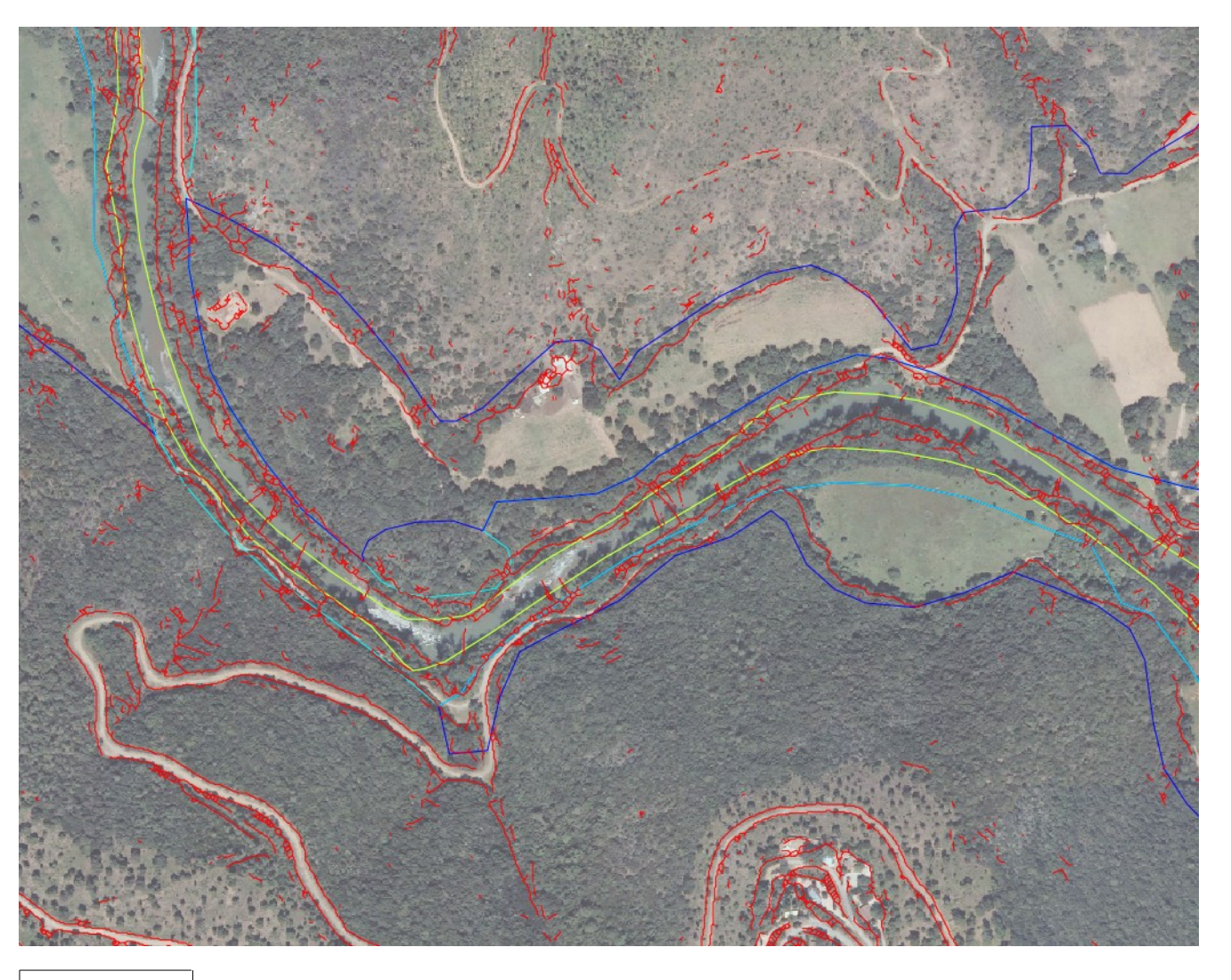
Calcul de la variation de pente et limites hydrogémoprhologiques



Filtre 7x7

Comparaison avec l'hydrogéomorphologie

Calcul de la variation de pente et limites hydrogémoprhologiques

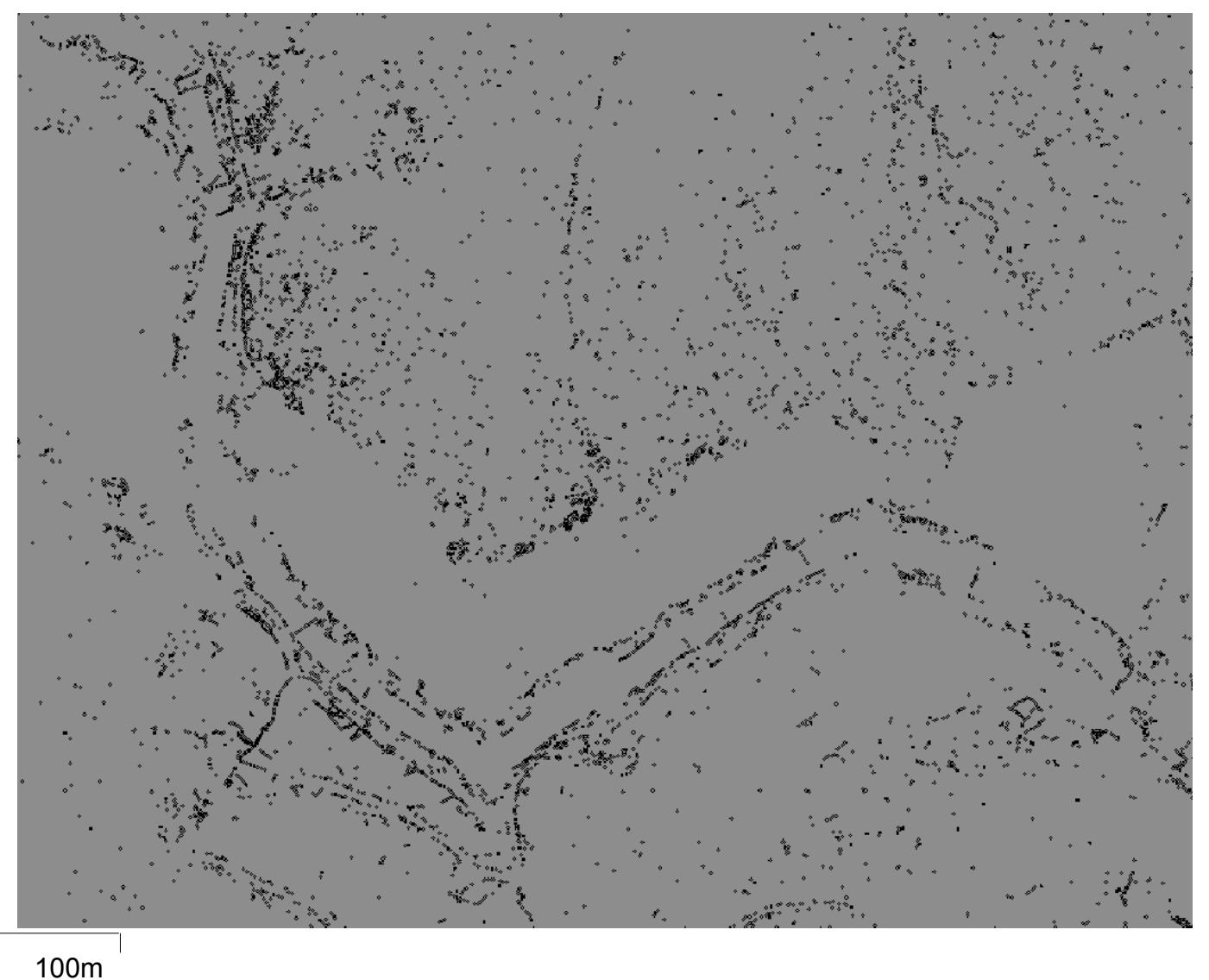


Filtre 7x7

100m

Comparaison avec l'hydrogéomorphologie

Calcul de l'écart-type



Raster
« écoulement
nul » calculé
depuis le
raster
« Stdev3 »

Comparaison avec l'hydrogéomorphologie

Calcul de l'écart-type



Raster
« écoulement
nul » calculé
depuis le
raster
« Stdev9 »

Comparaison avec l'hydrogéomorphologie

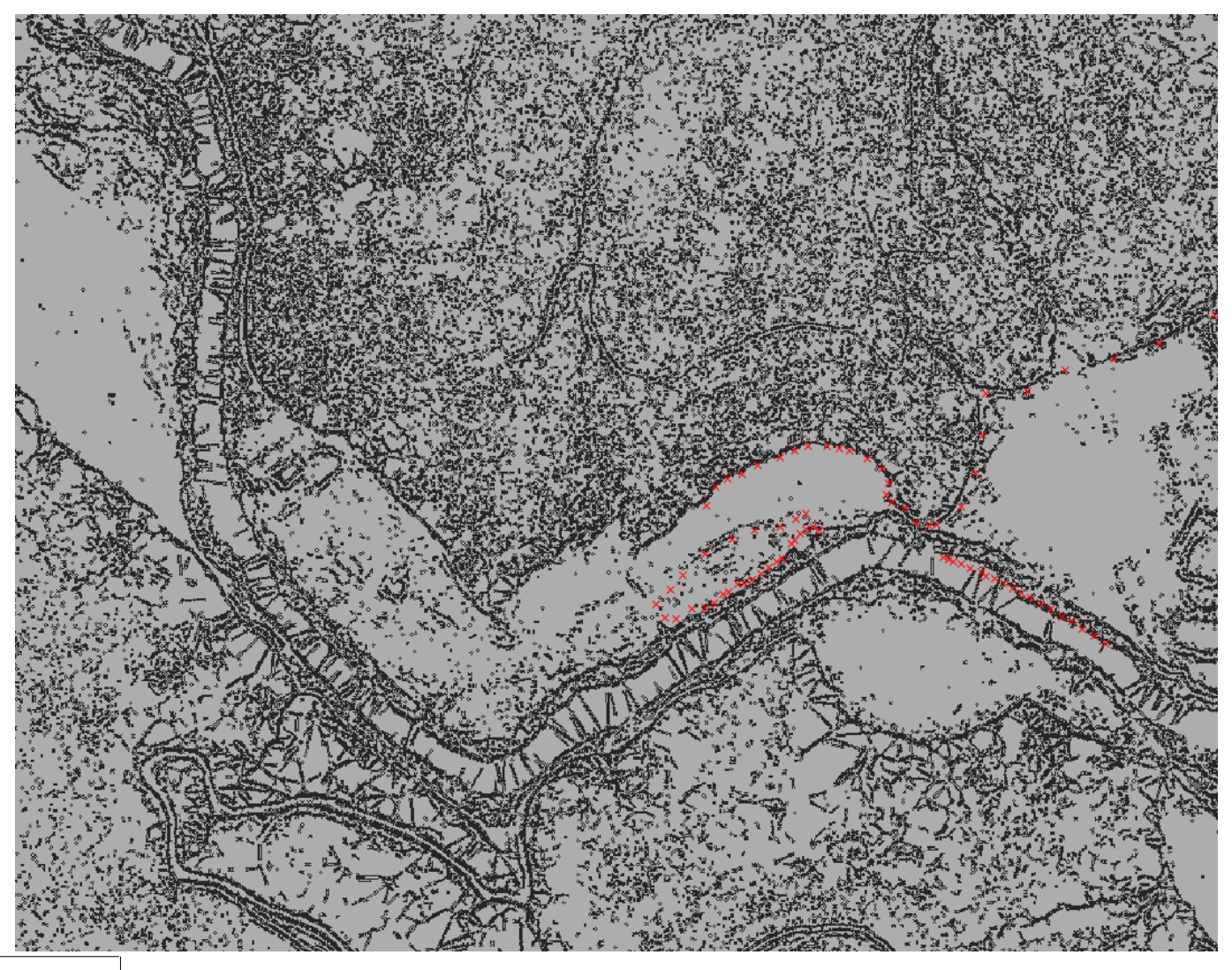
Calcul de l'écart-type



Raster
« écoulement
nul » calculé
depuis le
raster
« Stdev13 »

Comparaison avec l'hydrogéomorphologie

Calcul de l'écart-type



Raster
« écoulement
nul » calculé
depuis le
raster
« Stdev13 »

Points rouges: Levés DGPS réalisés le 03/07/2012 Écart Berges en Rive gauche lié à des travaux de consolidation réalisé après le levé LIDAR

Comparaison avec l'hydrogéomorphologie

Calcul de l'écart-type

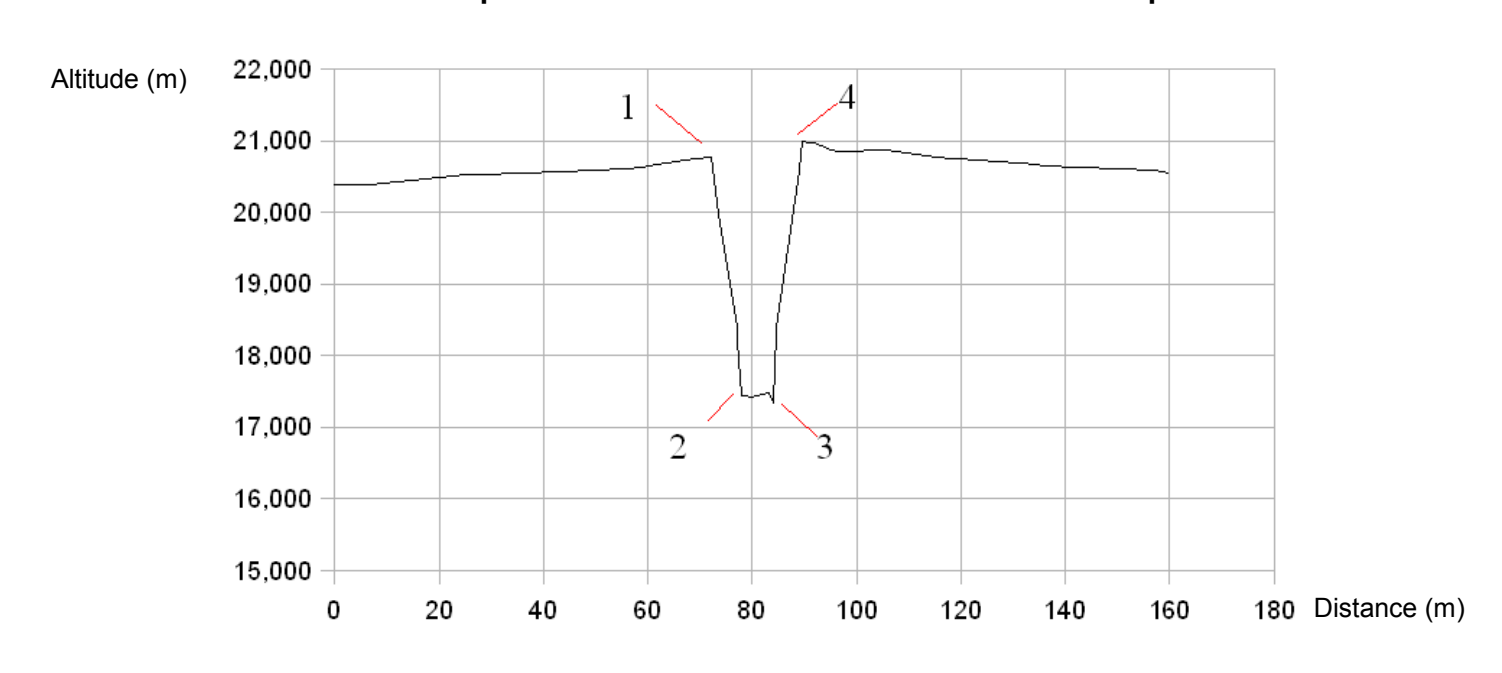


Raster
« écoulement
nul » calculé
depuis le
raster
« Stdev9 »

Comparaison avec la modélisation hydraulique

Comparaisons effectuées sur le Vistre (Gard)

Profil en travers réalisé par un cabinet de Géomètre-Expert



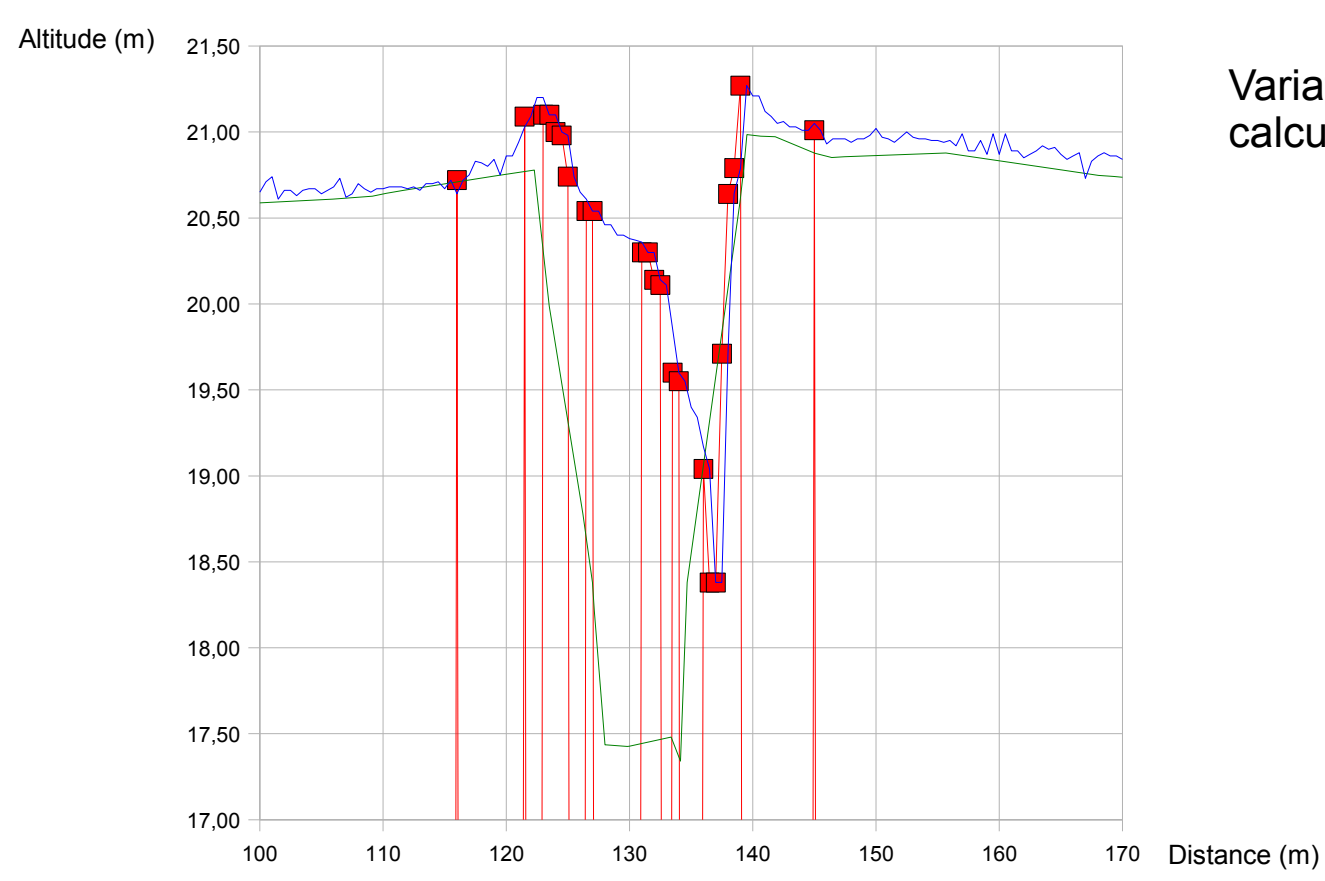
Pts 1 & 4 : limites de berge

Pts 2 & 3 : fond du lit mineur (pas levés

par le LiDAR)

Comparaison avec la modélisation hydraulique

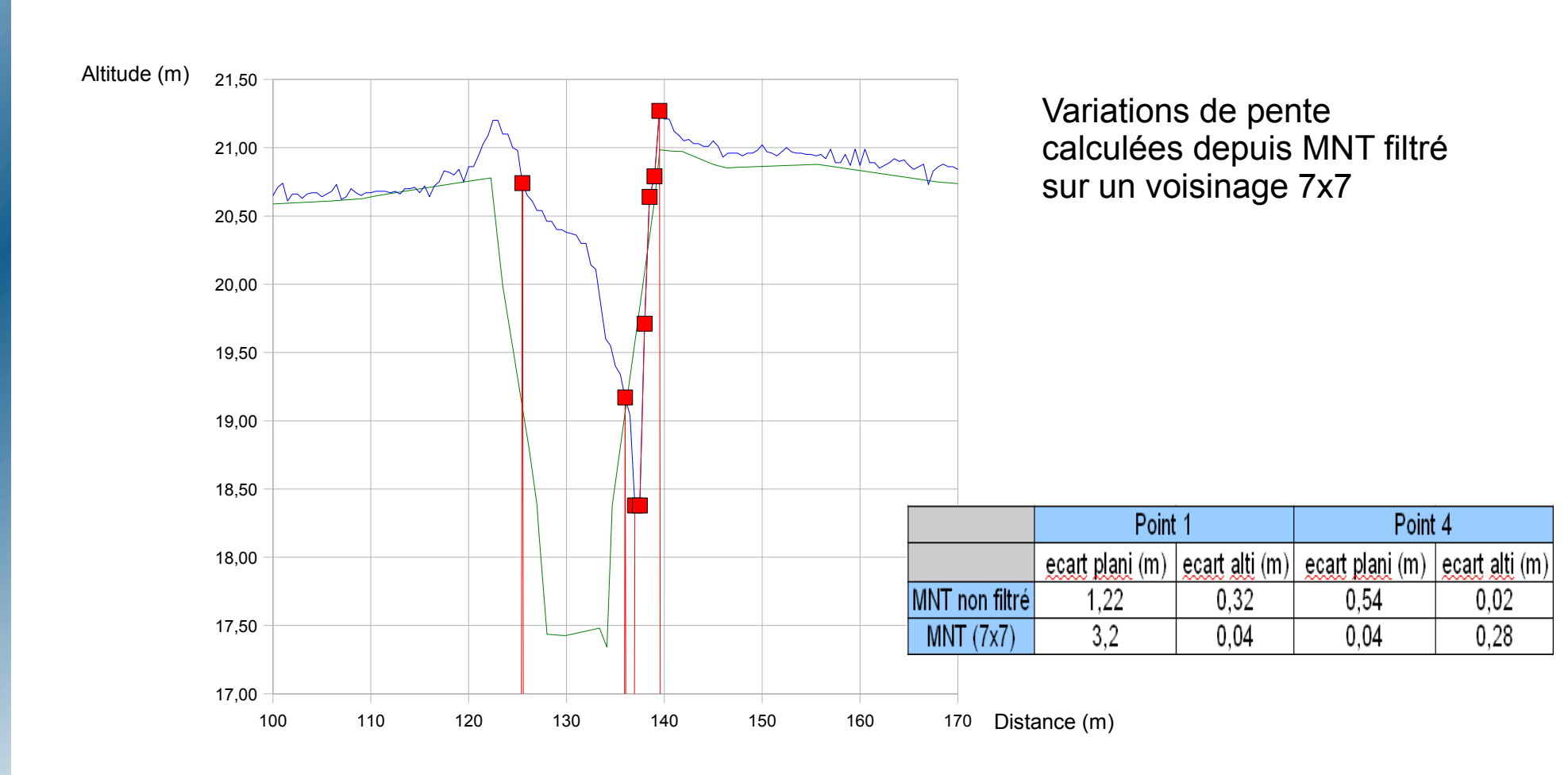
Calcul de la variation de pente



Variations de pente calculées depuis MNT brut

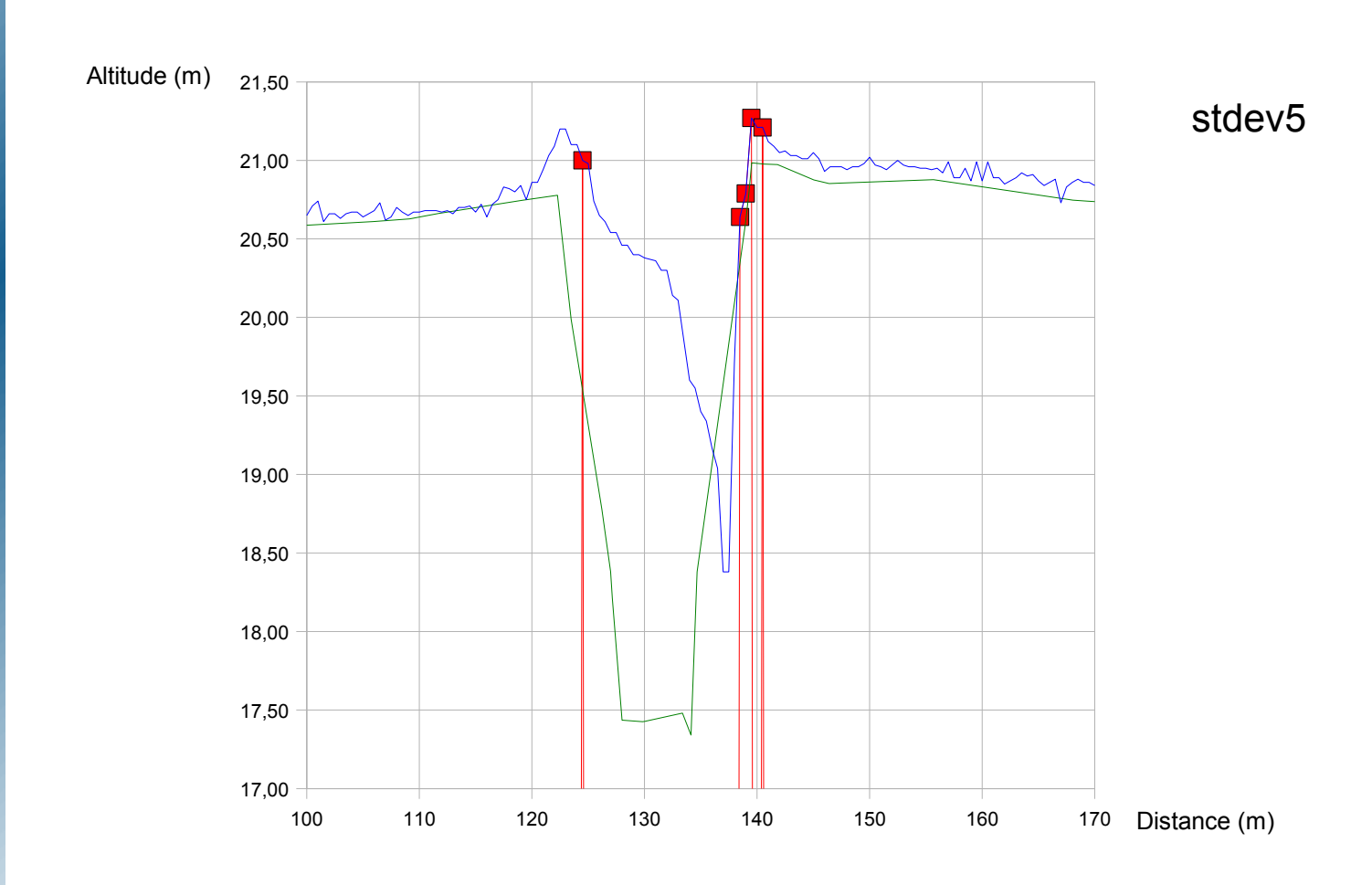
Comparaison avec la modélisation hydraulique

Calcul de la variation de pente



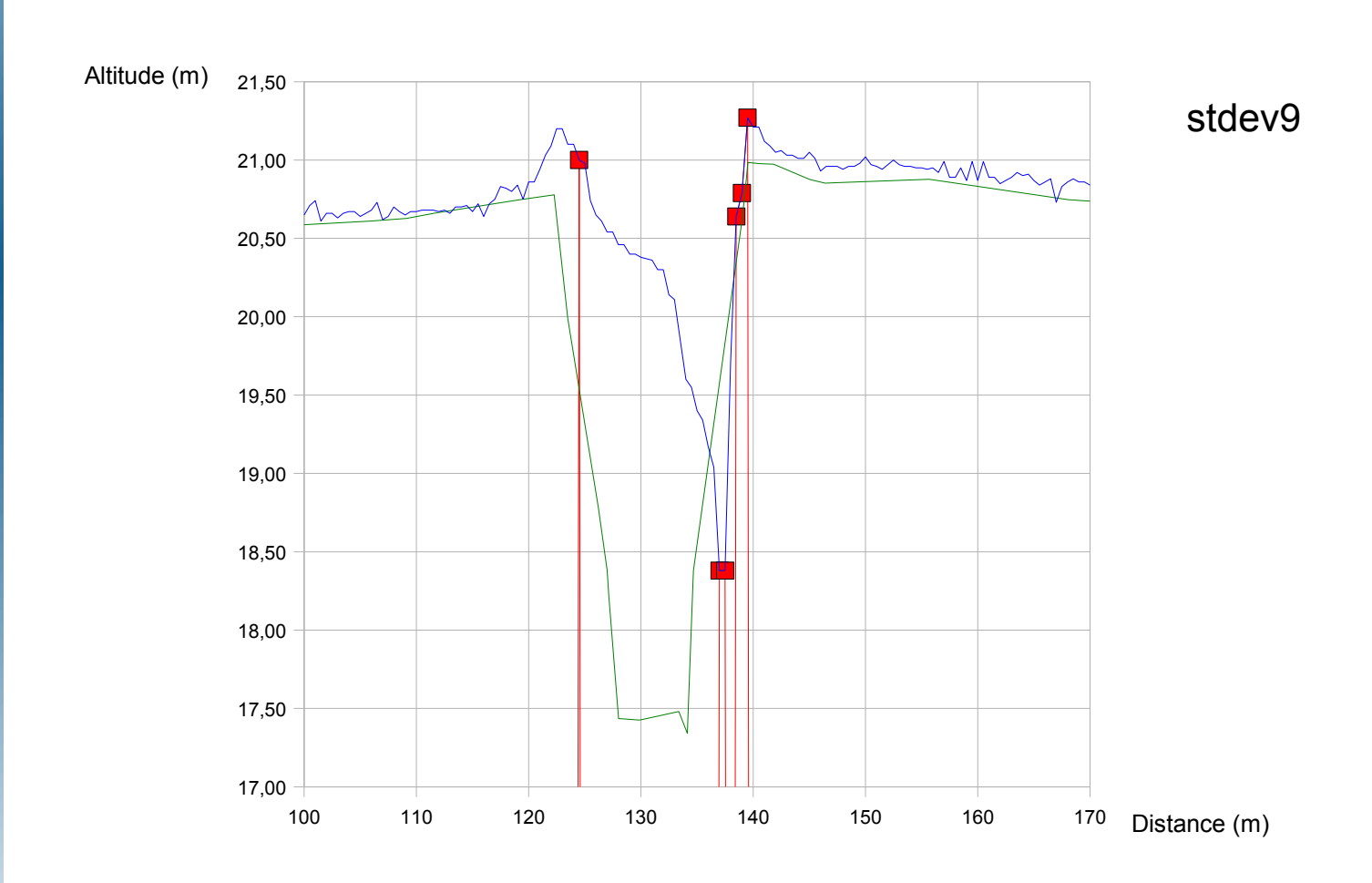
Comparaison avec la modélisation hydraulique

Calcul de l'écart-type



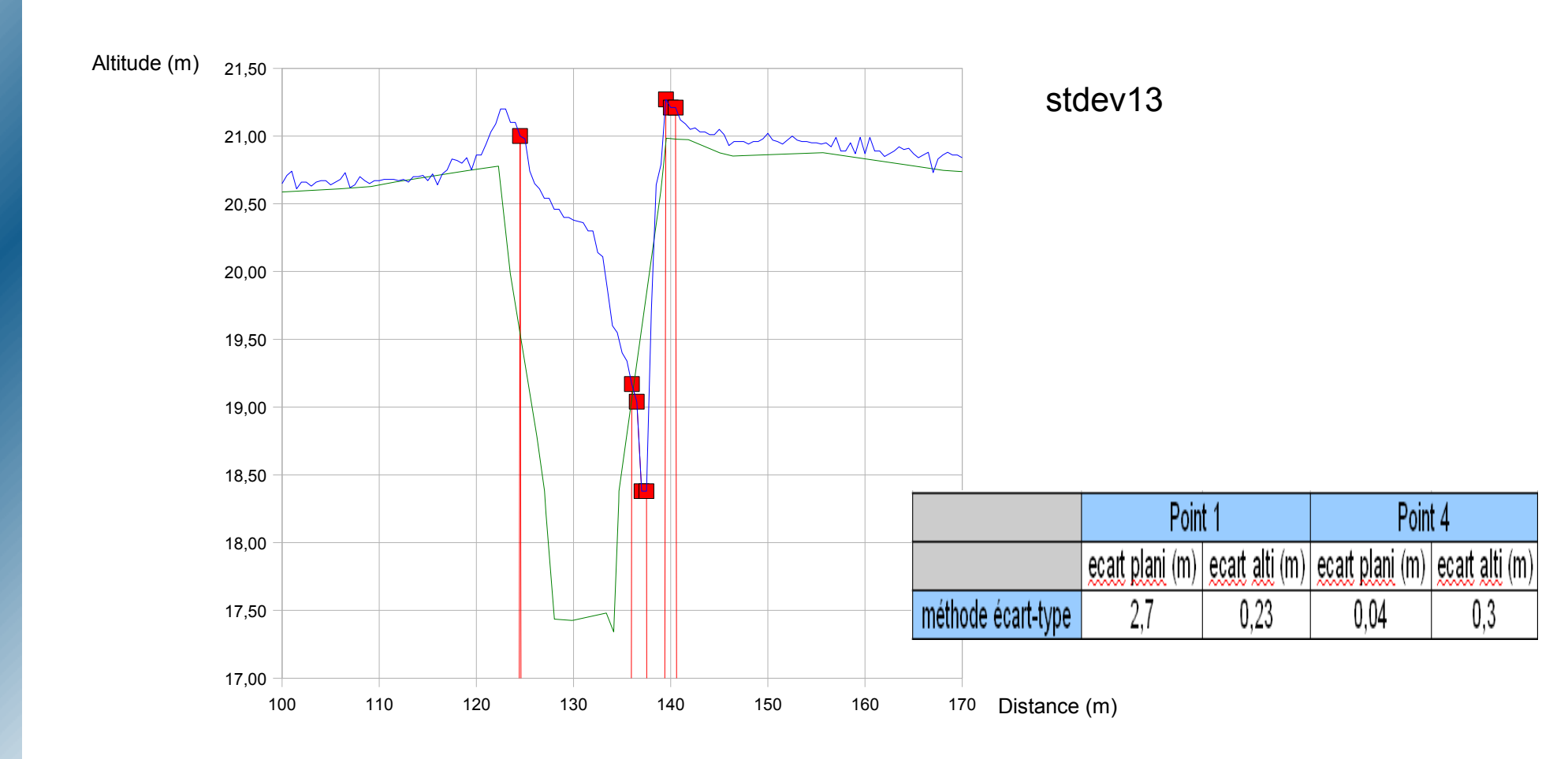
Comparaison avec la modélisation hydraulique

Calcul de l'écart-type



Comparaison avec la modélisation hydraulique

Calcul de l'écart-type



Conclusion

 Méthode de calcul de l'écart-type permet un traitement homogène sur des terrains naturels différents

Étude hydrogéomorphologique

Méthode moins fastidieuse et plus précise sur les limites des unités géomorphologiques

Détection facilitée des limites dans les zones boisées

Besoin d'interprétation du type d'occupation du sol pour déterminer la nature des unités géomorphologiques (images aériennes, données géologiques, visite terrain, etc...)

Les rasters obtenus peuvent constituer le support à la numérisation des limites des unités hydrogémorphologiques

Conclusion

Modélisation hydraulique

Détection du lit mineur limitée par les caractéristiques du LiDAR utilisé

Précision des résultats limitée par la précision des systèmes LiDAR

Précision compatible pour des calculs de forts débordements mais pas suffisante pour connaître les premiers débordements

Précision suffisante pour des cours d'eau larges

Perspectives

- Optimisation du temps de travail par automatisation du traitement dalle par dalle pour pouvoir réaliser les calculs sur des zones plus vastes
- Recherche d'un processus itératif de vectorisation des rasters d'écoulement nul issus de la méthode du calcul de l'écart-type

Merci de votre attention